

# Vpliv kršenja predpostavk linearne regresije na njene rezultate

Seminarska naloga pri predmetu Računsko zahtevne metode

Anja Žavbi Kunaver in Vesna Zupanc

2021-01-22

## Kazalo vsebine

<b>Uvod</b>	<b>2</b>
<b>Teoretični del</b>	<b>2</b>
Posplošeni linearni modeli . . . . .	2
Linearna regresija . . . . .	2
Metoda najmanjših kvadratov (MNK) . . . . .	3
Metoda iterativnega uteženega povprečja najmanjših kvadratov (IWLS) . . . . .	3
<b>Generiranje podatkov</b>	<b>4</b>
Parametri . . . . .	4
Funkciji <code>lm()</code> in <code>glm()</code> . . . . .	6
Ocenjevanje intervalov zaupanja . . . . .	6
Skaliranje variance . . . . .	6
Pričakovanja . . . . .	7
<b>Predstavitev rezultatov</b>	<b>8</b>
Polni model . . . . .	8
Vpliv odstranjevanja spremenljivk . . . . .	14
Analiza variance in velikost učinka . . . . .	27
Transformacija odzivne spremenljivke . . . . .	28
<b>Ugotovitve</b>	<b>34</b>
<b>Viri</b>	<b>34</b>
<b>Priloge</b>	<b>35</b>

## Uvod

Obravnavana metoda je linearna regresija in zanima nas, kako kršenje predpostavk (konkretnije nenormalna porazdelitev ostankov in močna korelacija med pojasnjevalnimi spremenljivkami) vpliva na njene rezultate. Preverjali bomo vpliv različnih dejavnikov na pristranost in širino intervalov zaupanja regresijskih koeficientov. Ti dejavniki so velikost vzorca, moč korelacije med pojasnjevalnimi spremenljivkami, asimetrija porazdelitve ostankov, asimetrija porazdelitve pojasnjevalnih spremenljivk ter število vključenih spremenljivk v modelu. Poleg tega bomo preverjali, če probleme kršenja predpostavk lahko (vsaj delno) odpravimo z uporabo posplošenih linearnih modelov. Ob koncu naloge bomo preverili še, kako dobro se *link* funkcija v posplošenih modelih obnese v primeru logaritemske transoformacije pojasnjevalne spremenljivke.

## Teoretični del

Naloga je osredotočena na linearno regresijo, ki spada pod posplošene linearne modele. V tem poglavju so najprej bolj splošno predstavljeni posplošeni linearni modeli, nato pa podrobneje model linearne regresije in metode, s pomočjo katerih lahko ocenjujemo regresijske koeficiente.

### Posplošeni linearni modeli

Posplošeni linearni mešani model izrazimo kot

$$Y = X\beta + Z\alpha + \epsilon,$$

kjer je  $Y$  opazovani slučajni vektor,  $X$  matrika znanih vrednosti pojasnjevalnih spremenljivk,  $\beta$  neznan vektor regresijskih koeficientov (fiksni učinki),  $Z$  znana matrika,  $\alpha$  vektor naključnih učinkov in  $\epsilon$  vektor napak.  $\alpha$  in  $\epsilon$  sta neopazovana. Predpostavimo, da sta nekorelirana.

V matrični obliki model izgleda takole:

$$\begin{bmatrix} Y_1 \\ Y_2 \\ \vdots \\ Y_n \end{bmatrix} = \begin{bmatrix} X_{1,1} & X_{1,2} & \dots & X_{1,p} \\ X_{2,1} & X_{2,2} & \dots & X_{2,p} \\ \vdots & \vdots & & \vdots \\ X_{n,1} & 0 & \dots & X_{n,p} \end{bmatrix} \begin{bmatrix} \beta_1 \\ \beta_2 \\ \vdots \\ \beta_p \end{bmatrix} + \begin{bmatrix} Z_{1,1} & Z_{1,2} & \dots & Z_{1,q} \\ Z_{2,1} & Z_{2,2} & \dots & Z_{2,q} \\ \vdots & \vdots & & \vdots \\ Z_{n,1} & Z_{n,2} & \dots & Z_{n,q} \end{bmatrix} \begin{bmatrix} \alpha_1 \\ \alpha_2 \\ \vdots \\ \alpha_q \end{bmatrix} + \begin{bmatrix} \epsilon_1 \\ \epsilon_2 \\ \vdots \\ \epsilon_n \end{bmatrix}.$$

Linearni mešani modeli se delijo na Gaussove ali normalne in ne-Gaussove. Pomembna predpostavka pri normalnih linearnih mešanih modelih je normalna porazdeljenost vektorja slučajnih učinkov  $\alpha \sim N(0, \sigma^2 I_q)$  in vektorja slučajnih odstopanj  $\epsilon \sim N(0, \tau^2 I_n)$ , ki nista nujno enakih razsežnosti. Druga pomembna predpostavka je neodvisnost slučajnih vektorjev  $\alpha$  in  $\epsilon$ . Prednost uporabe nenormalnih linearnih mešanih modelov pred normalnimi je v tem, da so bolj fleksibilni za modeliranje (Maver, 2018, str. 6).

### Linearna regresija

Linearna regresija je statistični model, ki ga v najbolj enostavni obliki lahko zapišemo kot:

$$Y_i = \beta_0 + \beta_1 x_i + \epsilon_i,$$

kjer so  $\epsilon_i$  med seboj neodvisne slučajne spremenljivke,  $x_i$  pa dane vrednosti. Velja  $\epsilon_i \sim N(0, \sigma^2)$  za vsak  $i$  in tako  $Y_i \sim N(\beta_0 + \beta_1 x_i, \sigma^2)$ . Model lahko razširimo na več linearnih parametrov:

$$Y_i = \beta_0 + \beta_1 x_{i1} + \dots + \beta_p x_{ip} + \epsilon_i,$$

kjer so  $\epsilon_i$  neodvisne enako porazdeljene slučajne spremenljivke, za  $1 \leq i \leq n$ .

Lahko ga zapišemo tudi v matrični obliki:

$$Y = X\beta + \epsilon.$$

Med temeljne predpostavke regresijskega modela spada predpostavka, da med neodvisnimi spremenljivkami ni popolne kolinearnosti ali multikolinearnosti. Najbolj tipičen vzrok za kršenje te predpostavke je, da smo v model kot neodvisni vključili dve spremenljivki, med katerima obstaja močna linearna povezanost. Do multikolinearnosti pride tudi, če v model vključimo več spremenljivk kot je velikost vzorca. Na multikolinearnost posumimo, če se v modelu determinacijski koeficient izkaže za statistično značilnega, od regresijskih koeficientov pa nobeden.

Opazovanja so med seboj neodvisna. V primeru kršenja te predpostavke je smiselno uporabiti posplošene linearne modele, običajno longitudinalni (vzdolžni) model. Vse predpostavke linearnega regresijskega modela so navedene v naslednjem razdelku.

## Metoda najmanjših kvadratov (MNK)

Pri 16 letih jo je odkril nemški matematik Carl F. Gauss. Zaradi svojih lastnosti je najbolj razširjena metoda ocenjevanja regresijskih koeficientov (Pfajfar, 2018, str.53).

Pri MNK na primeru osnovnega regresijskega modela velikosti  $p = 1$  iščemo  $\beta_0$  in  $\beta_1$  tako, da bo vsota kvadratov ostankov najmanjša možna. Pri danih  $(x_i, y_i)$  torej iščemo

$$\min_{\beta_0, \beta_1} \sum_{i=1}^n (y_i - \beta_0 - \beta_1 x_i)^2.$$

Za razumevanje oznak v predpostavkah metode ločimo dva modela, in sicer linearni vzorčni regresijski model  $y_i = b_1 + b_2 x_i + e_i$  in linearni populacijski regresijski model  $y = \beta_1 + \beta_2 x_i + u_i$ . Pfajfar (2018) navaja naslednje predpostavke metode najmanjših kvadratov:

- linearnost regresijskega modela:  $y = \beta_1 + \beta_2 x_i + u_i$
- ničelna povprečna vrednost  $u_i$ :  $E(u_i) = 0$
- homoskedastičnost:  $Var(u_i) = E(u_i^2) = \sigma^2$
- odsotnost avtokorelacije:  $cov(e_i, e_j | x_i, x_j) = 0$  za vsak  $i \neq j$
- nekoreliranost med pojasnjevalnimi spremenljivkami in slučajno spremenljivko  $u$ :  $Cov(x_2, u) = Cov(x_3, u) = \dots = Cov(x_k, u) = 0$
- število opazovanj mora presegati število ocenjenih parametrov oz. pojasnjevalnih spremenljivk:  $n > k$
- $Var(X)$  je končno pozitivno število
- pravilno specificiran regresijski model: vključene vse relevantne pojasnjevalne spremenljivke in izbrana ustrezna funkcijska oblika modela
- odsotnost popolne multikolinearnosti:  $\lambda_1 X_1 + \lambda_2 X_2 + \dots + \lambda_k X_k = 0$
- slučajna spremenljivka  $u$  je normalno porazdeljena:  $u_i \sim N(0, \sigma_u^2)$ . Posledično je pogojna porazdelitev odvisne spremenljivke  $y$  tudi normalna in sicer  $N(\beta_1 x_{1i} + \dots + \beta_k x_{ki}, \sigma_u^2)$

## Metoda iterativnega uteženega povprečja najmanjših kvadratov (IWLS)

Naj bo  $Y$  vektor meritev in  $X$  matrika znanih konstant. Naj bo  $E(Y) = X\beta$ , kjer  $\beta$  kot do sedaj predstavlja vektor neznanih regresijskih koeficientov. Cenilko za  $\beta$  se po uteženi metodi najmanjših kvadratov dobi z minimizacijo izraza

$$(Y - X\beta)'W(Y - X\beta), \quad (1)$$

kjer je  $W$  znana simetrična matrika uteži.

Brez škode za splošnost naj bo rang matrike  $X$  poln in naj velja  $\text{rang } X = p$ . Potem je za vsako nesingularno (simetrično) matriko  $W$  minimum izraza (1) enak

$$\hat{\beta}_W = (X'WX)^{-1}X'WY. \quad (2)$$

Cenilko za  $\beta$  po običajni metodi najmanjših kvadratov (ang. ordinary least squares, OLS) se dobi kot poseben primer, za  $W = I$ :

$$\hat{\beta}_I = (X'X)^{-1}X'Y. \quad (3)$$

Izkaže se, da je v smislu čim manjše variance optimalna izbira za matriko  $W$  matrika  $W = V^{-1}$ , kjer je  $V = Var(Y)$ . Tako dobljena cenilka za parameter  $\beta$  je najboljša, saj je z njeno uporabo dosežena najmanjša možna variabilnost med vsemi drugimi alternativami. V tem primeru se dobljeni cenilki za  $\beta$  reče najboljša linearna nepristranska cenilka ali *BLUE* (ang. best linear unbiased estimator):

$$\hat{\beta}_{BLUE} = (X'V^{-1}X)^{-1}X'V^{-1}Y. \quad (4)$$

V enačbi za  $\beta_{BLUE}$  nastopa tudi  $V$ , ki pa tipično ni znana. Zaradi poenostavitve je v nadaljevanju prikazan postopek izračuna cenilke *BLUE* zgolj na uravnoteženem primeru. Naj bo  $Y_{ij}, j = 1, \dots, \tilde{m}$ , vektor meritev na  $i$ -tem posamezniku, kjer je  $\tilde{m}$  fiksno število. V uravnoteženem primeru so na vseh posameznikih meritve pridobljene ob določenih časovnih trenutkih  $t_1, \dots, t_{\tilde{m}}$ . Za  $i$ -tega posameznika se lahko vektor meritev zapiše kot  $Y_i = (Y_{ij})_{j \leq \tilde{m}}, i = 1, \dots, n$ . Naj bodo  $Y_1, \dots, Y_n$  med seboj neodvisni in naj za njih velja  $E(Y_i) = X_i\beta$  in  $Var(Y_i) = V_0$ . Tu je  $X_i$  matrika znanih konstant in  $V_0 = (v_{qr})_{1 \leq q, r \leq \tilde{m}}$  neznana variančno kovariančna matrika. Iz tega sledi, da je  $V = diag(V_0, \dots, V_0)$ . Ker je število meritev  $\tilde{m}$  na vsakem posamezniku fiksno, je mogoče poiskati dosledno cenilko za  $V$ . Če bi bil parameter  $\beta$  znan, bi bila dosledna cenilka za  $V$  kar

$$\hat{V} = diag(\hat{V}_0, \dots, \hat{V}_0),$$

kjer je

$$\hat{V}_0 = \frac{1}{n} \sum_{i=1}^n (Y_i - X_i\beta)(Y_i - X_i\beta)'. \quad (5)$$

Če bi bila  $V$  znana, bi lahko za izračun najboljše linearne nepristranske cenilke za  $\beta$  uporabili (4), če pa bi poznali  $\beta$ , bi z (5) dobili dosledno cenilko za  $V$ .

Metodi, kjer ni treba poznati ne  $\beta$ , ne  $V$ , pa se reče iterativno uteženo povprečje najmanjših kvadratov (ang. iterative weighted least squares, IWLS). Postopek omenjene metode je sledeč:

- Najprej se izračuna cenilka za  $\beta$  po običajni metodi najmanjših kvadratov s pomočjo (3).
- Nato se izračuna  $\hat{V}$  po (5), kjer je  $\beta$  zamenjan z  $\hat{\beta}_I$  izračunanim en korak prej.
- V zadnjem koraku pa se na desni strani (4) matriko  $V$  zamenja z njeno cenilko  $\hat{V}$ , izračunano na prejšnjem koraku.

Na tak način se dobi cenilka za  $\beta$  po prvi iteraciji, nato pa se postopek ponavlja. Pod predpostavko normalnosti se izkaže, da če IWLS konvergira, bo cenilka v limiti enaka cenilki, dobljeni po metodi največjega verjetja (celotno podpoglavje je povzeto po Maver, 2018, strani 19-21).

## Generiranje podatkov

### Parametri

Fiksni parametri pri generiranju podatkov so sledeči:

- formula za generiranje podatkov:

$$y_i = 1 + x_{1i} + x_{2i} + 0x_{3i} + \epsilon_i.$$

Pri generiranju podatkov bomo spreminjali sledeče:

- velikost vzorca  $n \in \{10, 50, 100, 500, 1000\}$ ;
- korelacija med pojasnjevalnimi spremenljivkami ( $cor \in \{0, 0.3, 0.6, 0.9\}$ );

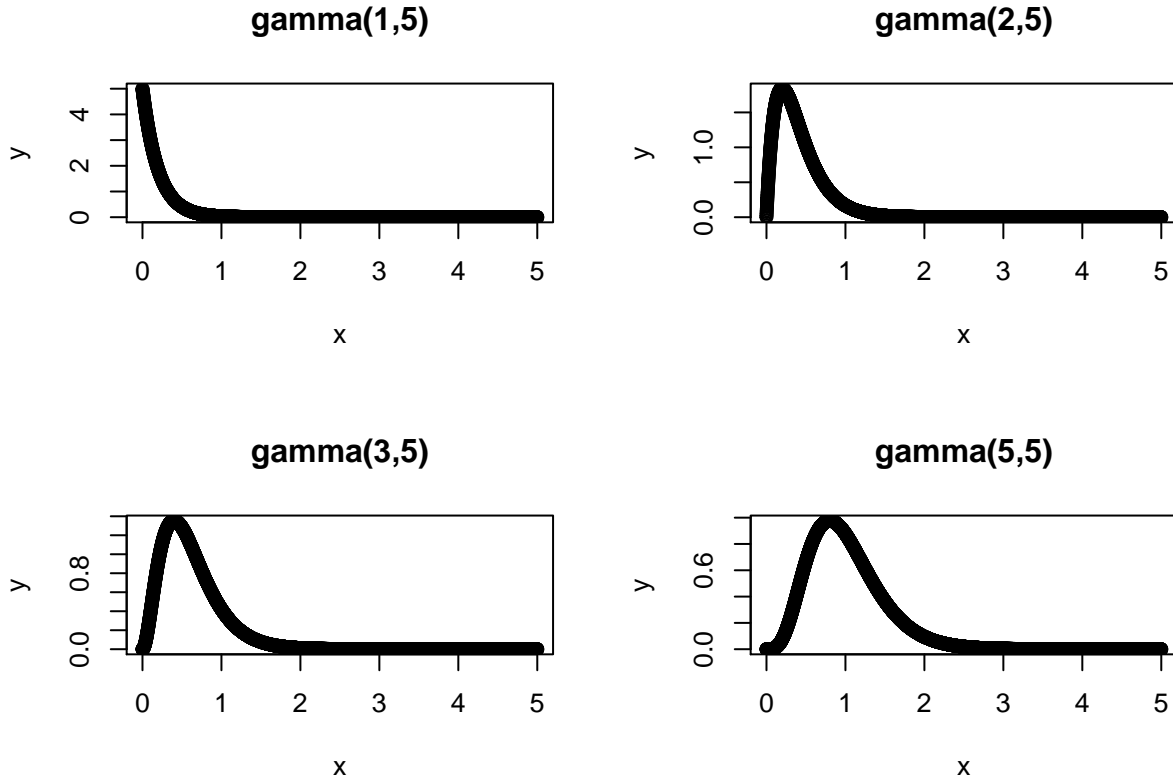
- porazdelitev pojasnjevalnih spremenljivk:  $X_j \sim \text{Gamma}(\delta, 5)$ ,  $j = 1, 2, 3$ ,  $\delta = 2, 5$ ;
- porazdelitev napak ( $\text{Gamma}(\alpha, 5)$ ), kjer bomo parameter  $\alpha$  spreminjali tako, da dobimo različno močno asimetrične porazdelitve ( $\alpha \in \{1, 3, 5\}$ );
- v modelu ne upoštevamo vseh neodvisnih spremenljivk (spreminjamo število spremenljivk, ki jih upoštevamo): enkrat vključimo vse spremenljivke, enkrat izločimo  $X_3$  (ki nima vpliva na odzivno spremenljivko), enkrat pa izločimo  $X_2$ .

Pri generiranju koreliranih gama spremenljivk lahko uporabimo sledečo lastnost: Če  $X_i \sim \text{Gamma}(k_i, \theta)$ , potem je

$$\sum_{i=1}^n X_i \sim \text{Gamma}\left(\sum_{i=1}^n k_i, \theta\right).$$

Pri pregledu literature sva ugotovili, da za generiranje odvisnih gama spremenljivk lahko uporabimo kar funkcijo `rmvgamma()` iz paketa `lcmix` in si s tem olajšamo delo pri generiranju podatkov. Funkcija sprejme naslednje parametre:  $n$  (število vektorjev, ki jih želimo generirati),  $corr$  (korelacijska matrika) ter parametra **shape** in **rate**, ki sta privzeto nastavljena na 1. Kot rezultat dobimo matriko z  $n$  vrsticami in  $ncol(corr)$  stolpci, v kateri so vrednosti koreliranih gama spremenljivk (mvgama, 2020). Koda, na podlagi katere funkcija generira vrednosti, je predstavljena v viru lcmix, 2021.

Prikaz porazdelitev, na podlagi katerih so generirane pojasnjevalne spremenljivke in ostanki, je predstavljen na naslednji sliki.



Slika 1: Različne porazdelitve gama

V poglavju Transformacija odzivne spremenljivke obravnavamo poseben primer, kjer za generiranje

podatkov uporabimo sledečo formulo:

$$y_i = \exp(1 + x_{1i} + x_{2i} + 0x_{3i} + \epsilon_i)$$

Enako kot prej imamo 5 različnih velikosti vzorcev, 4 različne korelacije med pojasnjevalnimi spremenljivkami, 3 porazdelitve ostankov, 2 porazdelitvi pojasnjevalnih spremenljivk in 2 metodi, ne obravnavamo pa modelov z manjkajočimi spremenljivkami. Model *lm* oblikujemo po sledeči formuli:

$$\log(Y) \sim \beta X + \epsilon,$$

v modelu *glm* pa uporabimo kar

$$Y \sim \beta X + \epsilon$$

in za upoštevanje logaritemske transformacije uporabimo `family=gamma(link="log")` (podrobneje razloženo v naslednjem razdelku). Zanima nas predvsem razlika med tema dvema pristopoma.

## Funkciji `lm()` in `glm()`

Funkcija *lm()* se uporablja za ocenjevanje linearnih modelov. Avtomatično uporablja osnovno metodo najmanjših kvadratov, lahko pa nastavimo tudi na metodo uteženih najmanjših kvadratov (lm iz RDocumentation, 2020). V tej seminarski nalogi uporabljamo samo osnovno metodo najmanjših kvadratov.

V linearnem modelu  $Y_i = \beta_0 + \beta_1 X_{i1} + \dots + \beta_p X_{ip} + \epsilon_i$  velja  $E(Y_i) = \beta_0 + \beta_1 X_{i1} + \dots + \beta_p X_{ip}$ . Slednjo enačbo lahko z uporabo primerno definirane funkcije *g* posplošimo do

$$g(E(Y_i)) = \beta_0 + \beta_1 X_{i1} + \dots + \beta_p X_{ip}.$$

Tu z indeksom *i* označujemo *i*-tega posameznika. Prejšnja enačba je poseben primer, kjer je *g* identiteta. Z uporabo funkcije *glm()* in znotraj primerno definirane funkcije *g* lahko generiramo več posplošenih linearnih modelov. Prednost te funkcije je tudi v tem, da lahko poleg normalne porazdelitve nastavimo še katero drugo porazdelitev ostankov. To naredimo tako, da npr. v primeru gama porazdelitve ostankov znotraj funkcije *glm()* definiramo `family=Gamma(link="identity")`. Tu *identity* pomeni, da za funkcijo *g* vzamemo kar identiteto, možne izbire pa so še *log*, *inverse*, *logit* in druge (možna je tudi nova definicija). Parameter *family* določa porazdelitev ostankov. Na voljo imamo normalno, binomsko, gama, inverzno normalno, Poissonovo, kvazi (poleg *link* funkcije nastavimo še varianco), kvazi-binomsko in kvazi-Poissonovo. Funkcija *glm* parametre modela ocenjuje po metodi iterativnega uteženega povprečja najmanjših kvadratov (glm iz RDocumentation, 2020).

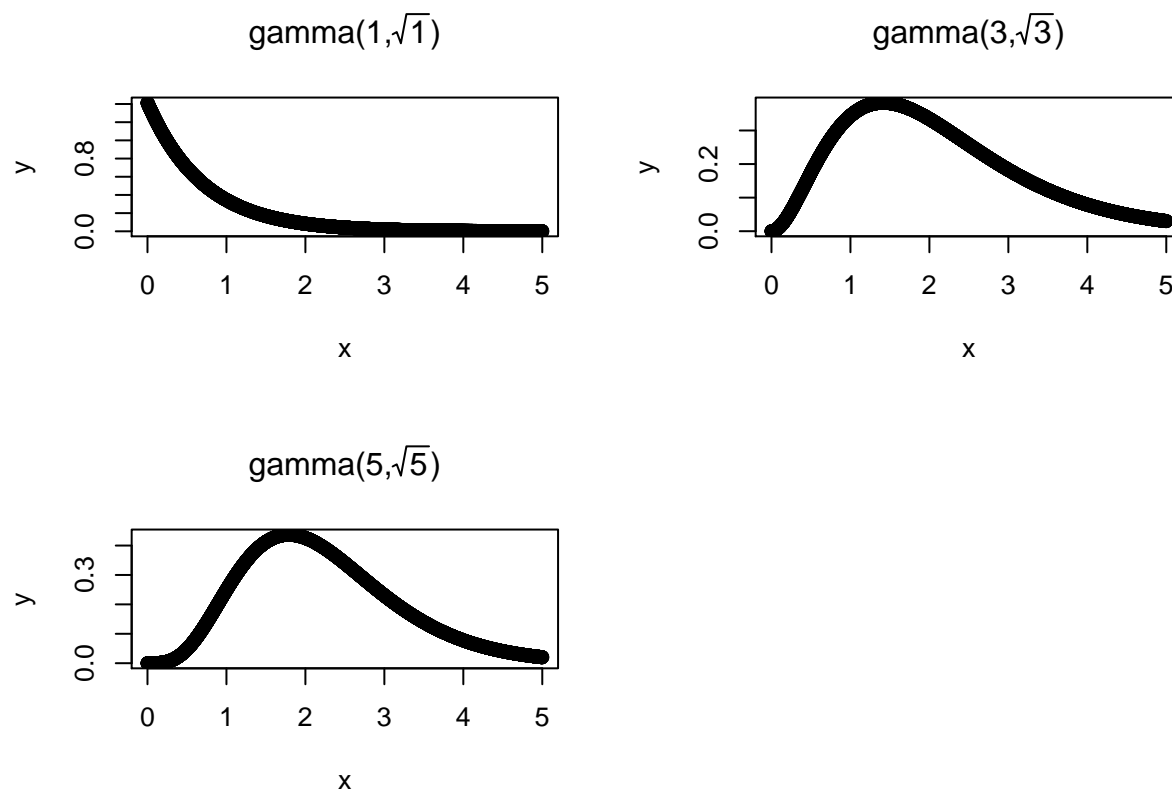
## Ocenjevanje intervalov zaupanja

Pri izračunih intervalov zaupanja uporabimo funkciji *confint* in *confint.default*. Prva predpostavlja normalnost, druga pa temelji na asimptotski normalnosti in računa intervale zaupanja na podlagi standardnih napak. Funkcija *confint* je posebej prilagojena funkcijama *lm* in *glm* - če uporabimo model, ocenjen na enega od teh dveh načinov, funkcija avtomatično pokliče *confint.lm* oziroma *confint.glm* (*confint* iz RDocumentation, 2020). Iz neznanih razlogov se pri posplošenih linearnih modelih občasno pojavljajo težave, zato v primeru "error" uporabimo *confint.default*. Če pri generiranju podatkov ne skaliramo variance, ni težav z uporabo funkcije *confint*, vendar pa je v tem primeru potrebno paziti pri interpretaciji rezultatov. V kodi za simulacije je nastavljena zanka, ki v primeru napake uporabi funkcijo *confint.default* in neuspeh funkcije *confint* zabeleži pod številko 0 v stolpcu "confint\_success" (če ni težav, zabeleži vrednost 1).

## Skaliranje variance

Ker zaradi spreminjanja parametrov v gama porazdelitvi ne spreminjamo samo asimetričnosti, ampak tudi varianco in ker vemo, da ima velikost variance vpliv na model, smo spremenljivke napak skalirali. Napake smo skalirali tako, da smo vrednosti delili s teoretično standardno napako in tako poskrbeli, da imajo vse porazdelitve napak enako varianco.

Podrobnejši pregled gama porazdelitve z vsemi dokazi je pripravil K. Siegrist (2020). Če je spremenljivka  $X$  porazdeljena po  $\text{Gamma}(\alpha, \beta)$ , je njena pričakovana vrednost enaka  $\frac{\alpha}{\beta}$ , varianca pa  $\frac{\alpha}{\beta^2}$ . Za to spremenljivko in neko konstanto  $c$  velja  $cX \sim \text{Gamma}(\alpha, \frac{\beta}{c})$ . To lastnost uporabimo pri skaliranju variance in sicer tako, da vrednosti delimo s  $\sqrt{\frac{\alpha}{\beta^2}} = \frac{\sqrt{\alpha}}{\beta}$ . Tako dobimo skalirano spremenljivko  $\frac{\beta}{\sqrt{\alpha}}X \sim \text{Gamma}(\alpha, \sqrt{\alpha})$ .



Slika 2: Skalirane porazdelitve ostankov

V poglavju **Transformacija odzivne spremenljivke** skaliranja variance nismo uporabili. Razlog je v tem, da program občasno vrača opozorila `task failed - "NA/NaN/Inf in 'x'"`. Ker nas v resnici zanima le razlika med pristopoma *lm* in *glm*, nas različna varianca ostankov pri interpretaciji ne zmoti.

## Pričakovanja

Pri večji korelaciji med pojasnjevalnimi spremenljivkami pričakujemo širše intervale zaupanja regresijskih koeficientov ne glede na izbiro metode. Zaradi večje širine intervalov zaupanja ne pričakujemo večjih sprememb v pokritosti.

Večje razlike med metodami pričakujemo predvsem pri manjših velikostih vzorcev in večji asimetriji porazdelitve ostankov. Pri dovolj velikih vzorcih pričakujemo podobne rezultate obeh metod, prav tako pa seveda tudi manjšo variabilnost rezultatov.

Pričakujemo, da lahko kršenje predpostavke o normalni porazdeljenosti ostankov rešimo z uporabo posplošenih linearnih modelov z ustrezno definirano porazdelitvijo ostankov oz. odzivne spremenljivke. Pričakujemo, da bolj kot bo porazdelitev ostankov asimetrična (manjša vrednost parametra  $\alpha$ ), slabši bodo rezultati funkcije *lm()* in posledično večje razlike med rezultati funkcij *lm()* in *glm()*.

V primeru, ko iz modela izločimo spremenljivko  $X_3$  in nimamo velikih korelacij med pojasnjevalnimi spremenljivkami, ne pričakujemo posebnih sprememb v rezultatih, saj spremenljivka nima vpliva na vrednost pojasnjevalne spremenljivke. Pravzaprav lahko model brez te spremenljivke označimo kot “pravi” model. V primeru visoke korelacije med pojasnjevalnimi spremenljivkami v polnem modelu pričakujemo večje napake pri ocenjevanju regresijskih koeficientov (posledično slabšo pokritost ali širše IZ), zato predvidevamo, da se bo model brez vključene spremenljivke  $X_3$  bolje obnesel. V primeru, ko izločimo spremenljivko  $X_2$ , pa pričakujemo večje spremembe v rezultatih - širše intervale zaupanja regresijskih koeficientov in slabšo pokritost.

Porazdelitev pojasnjevalnih spremenljivk preverimo za dve porazdelitvi -  $\text{Gamma}(2, 5)$ , ki je precej asimetrična in  $\text{Gamma}(5, 5)$ , ki je zelo podobna normalni porazdelitvi. Zanima nas, če in kako asimetrija pojasnjevalnih spremenljivk vpliva na ocene regresijskih koeficientov. Pričakujemo, da bo v primeru asimetrične porazdelitve prišlo do manjše pokritosti in večje širine intervalov zaupanja.

V primeru transformacij pričakujemo podobne rezultate med metodama *lm* in *glm*, morda boljše pri slednji. Prednost *glm* je v tem, da lahko nastavimo gama porazdelitev ostankov, za *link* funkcijo pa pričakujemo, da se bo obnesla približno tako dobro kot logaritemska transformacija formule v *lm* funkciji.

## Predstavitev rezultatov

Izvedli smo 1000 ponovitev simulacij. Na vsakem koraku obravnavamo 4 različne korelacije, 5 različnih velikosti vzorca, 3 različne porazdelitve ostankov, 2 različni porazdelitvi pojasnjevalnih spremenljivk, 2 metodi (*lm* in *glm*) in 3 modele glede na število spremenljivk - iz tega sledi, da dobimo tabelo s 720 000 vrsticami.

Intervali zaupanja so generirani s pomočjo funkcije *confint()* oziroma v primeru, ko naletimo na **error**, s funkcijo *confint.default()*. Primerov, ko je bilo potrebno uporabiti slednjo funkcijo, je 21, kar znaša  $7.19999 \times 10^5$  % vseh ponovitev simulacij.

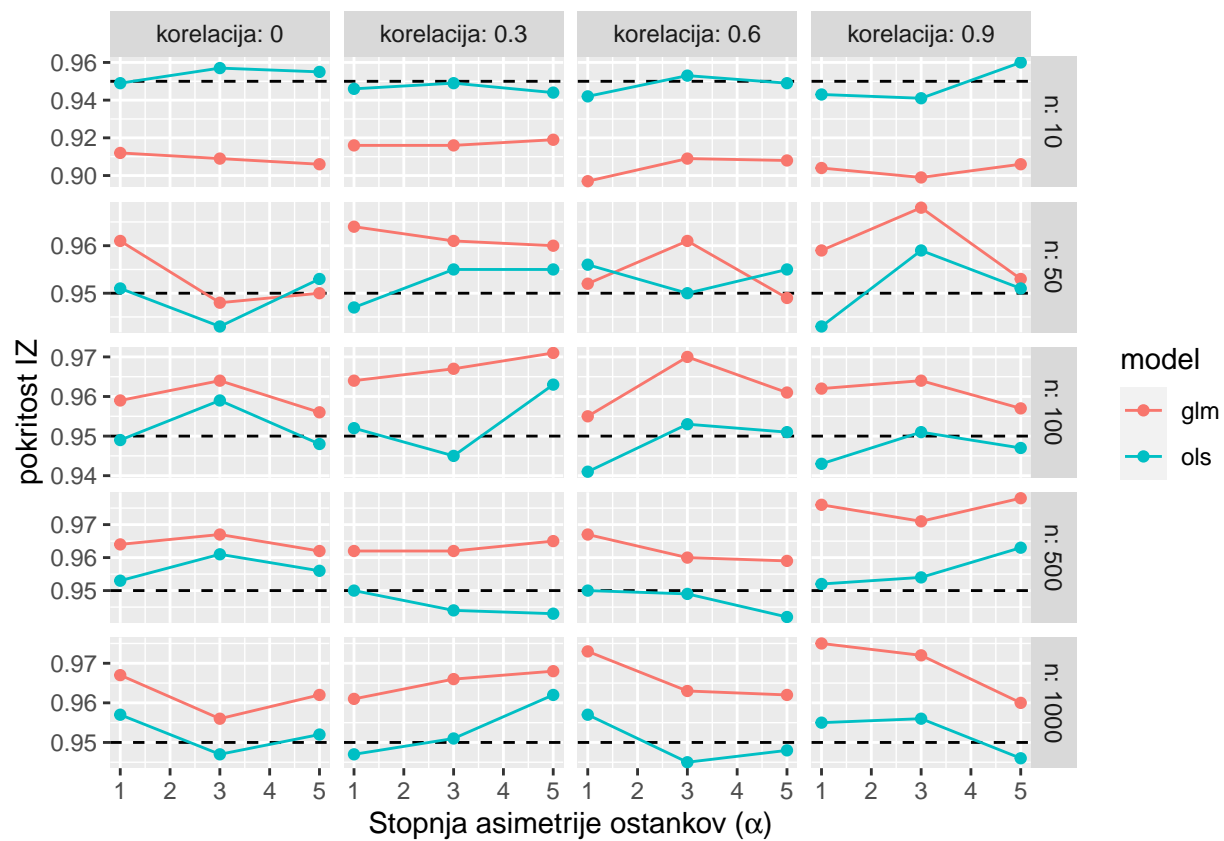
Rezultati se nanašajo na veliko parametrov in za več različnih načinov modeliranja, zato si bomo rezultate ogledali na različne načine. Ker imata koeficienta  $X_1$  in  $X_2$  enak vpliv na odzivno spremenljivko,  $X_3$  pa nima vpliva, se lahko osredotočimo le na koeficient  $\beta_1$ .

## Polni model

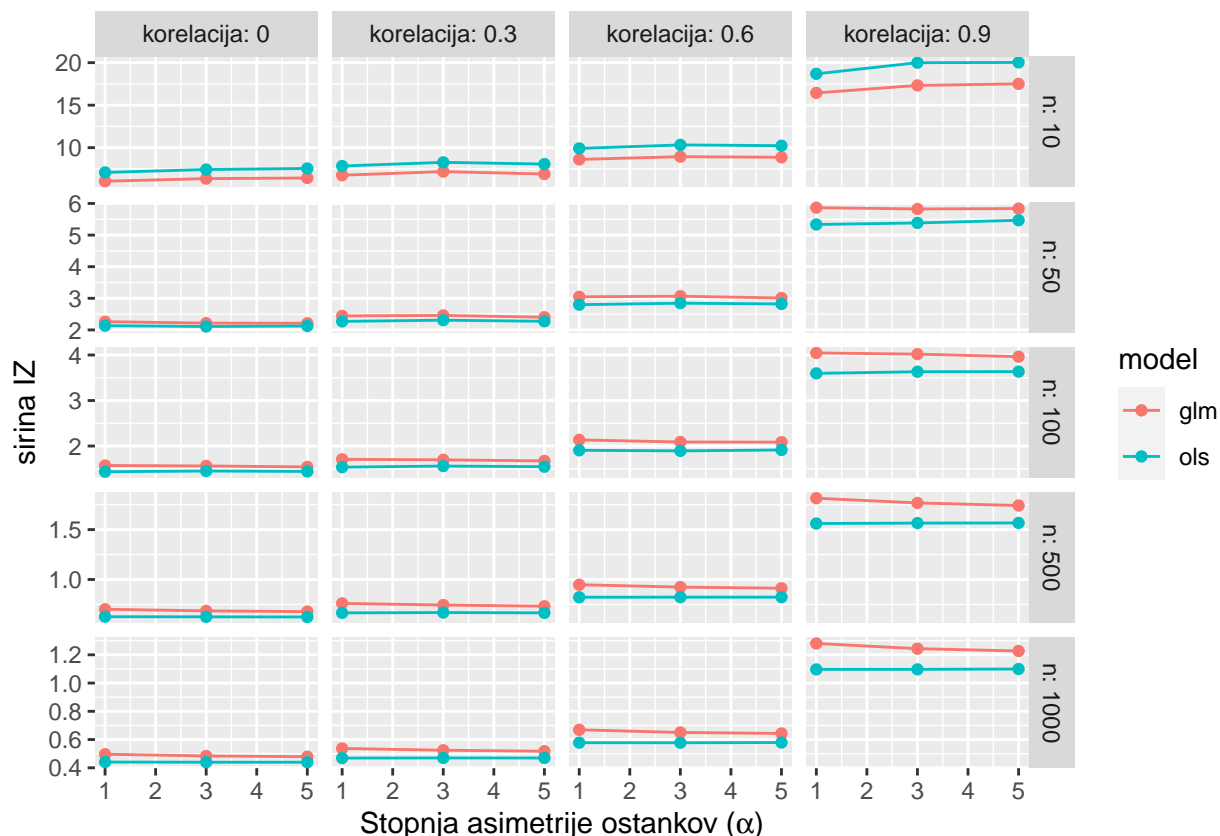
### Asimetrična porazdelitev pojasnjevalnih spremenljivk

Za začetek si pogledjmo rezultate oz. izbrane mere na polnem modelu, kjer so upoštevane vse spremenljivke pri bolj asimetrični porazdelitvi pojasnjevalnih spremenljivk. Naslednje dva grafa tako prikazujeta pokritost in širine intervalov zaupanja za koeficient  $\beta_1$  za posamezen model (*gls* ali *ols*) glede na velikost vzorca in korelacijo. Črna črtkana črta na grafu pokritja označuje željeno pokritje (0.95).





Slika 3: Pokritost intervalov zaupanja za koeficient  $\beta_1$  pri polnem modelu in Gamma(2,5) porazdelitvi pojasnjevalnih spremenljivk



Slika 4: Širina intervalov zaupanja za koeficient  $\beta_1$  pri polnem modelu in Gamma(2,5) porazdelitvi pojasnjevalnih spremenljivk

Iz slik lahko vidimo, da imata precej očitni vpliv pri obeh metodah (*glm* in *ols*) korelacija in velikost vzorca. Z večanjem korelacije se sama pokritost ne spremeni bistveno, se pa močno povečajo intervali zaupanja, medtem ko z večanjem velikosti vzorca pridobimo večjo pokritost in ožje intervale zaupanja. Pri različnih stopnjah asimetrije ostankov pa ni opaziti bistvenega vpliva na rezultate.

Razberemo tudi, da ima model *glm* nekoliko boljšo pokritost, razlika je manjša pri manjših vzorcih. Velja pa tudi, da pri *glm* modelu dobimo nekoliko širše intervale zaupanja, od koder najverjetneje izhaja tudi boljša pokritost. Intervali zaupanja pri metodi *ols* so torej preozki, posledično pa interval zaupanja za koeficient večkrat ne vsebuje prave vrednosti koeficienta. Razlike v pokritosti sicer niso velike, vseeno pa so prisotne. Rezultati so za manjše število izbranih parametrov  $n$  in korelacije prikazani tudi v spodnjih dveh tabelah, kjer bomo lažje razbrali razlike. Prikazane razlike so v obeh primerih razlike *glm* glede na *ols* metodo, v tabeli s širino intervalov zaupanja so prikazane razlike še v deležu glede na širino intervala zaupanja pri metodi *ols*.

Tabela 1: Pokritost intervalov zaupanja za koeficient  $\beta_1$  pri Gamma(2,5) porazdelitvi pojasnjevalnih spremenljivk

n	korelacija	glm	ols	razlika
10	0.3	0.92	0.95	-0.03
10	0.9	0.90	0.95	-0.05
100	0.3	0.97	0.95	0.02
100	0.9	0.96	0.95	0.01
1000	0.3	0.96	0.95	0.01

n	korelacija	glm	ols	razlika
1000	0.9	0.97	0.95	0.02

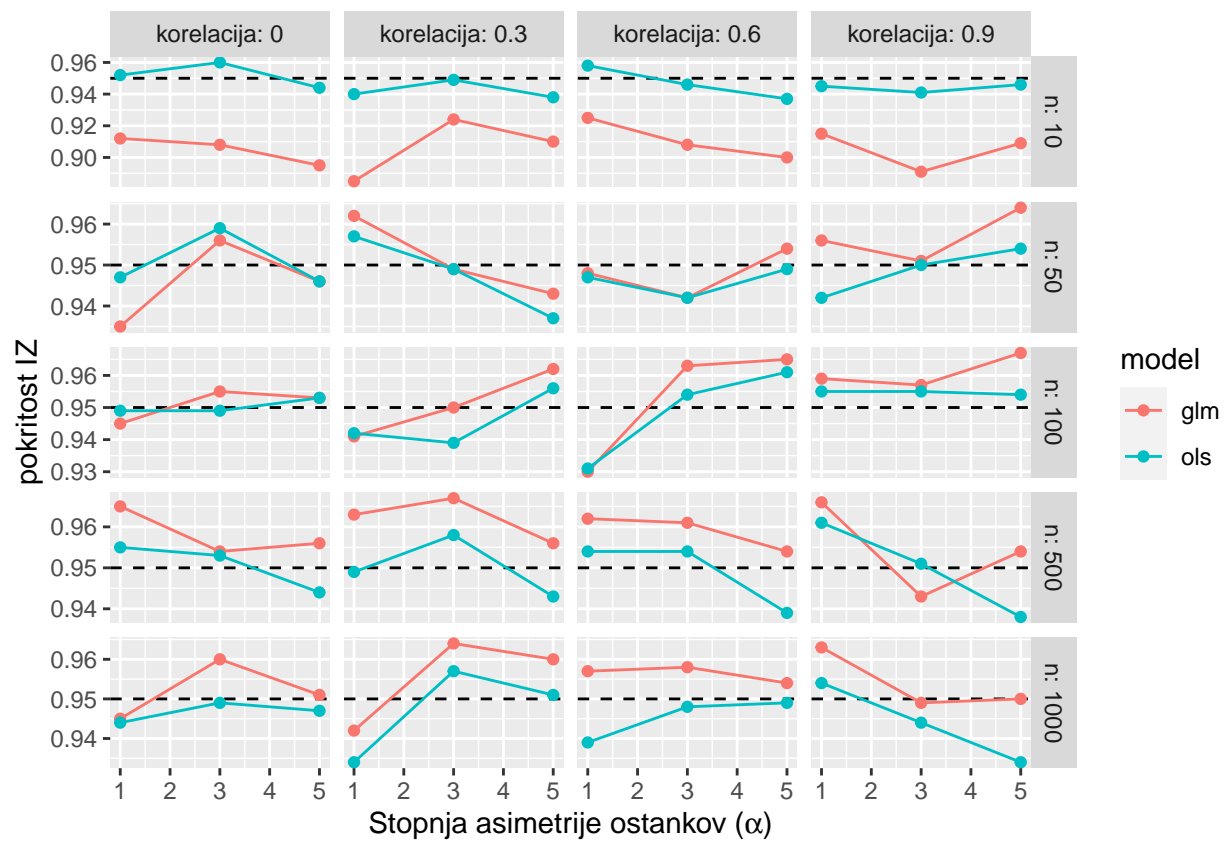
Tabela 2: Širina intervalov zaupanja za koeficient  $\beta_1$  pri Gamma(2,5) porazdelitvi pojasnjevalnih spremenljivk

n	korelacija	glm	ols	razlika	razlika_pct
10	0.3	6.94	8.06	-1.12	-0.14
10	0.9	17.09	19.57	-2.48	-0.13
100	0.3	1.69	1.55	0.14	0.09
100	0.9	4.01	3.62	0.39	0.11
1000	0.3	0.53	0.47	0.06	0.13
1000	0.9	1.25	1.10	0.15	0.14

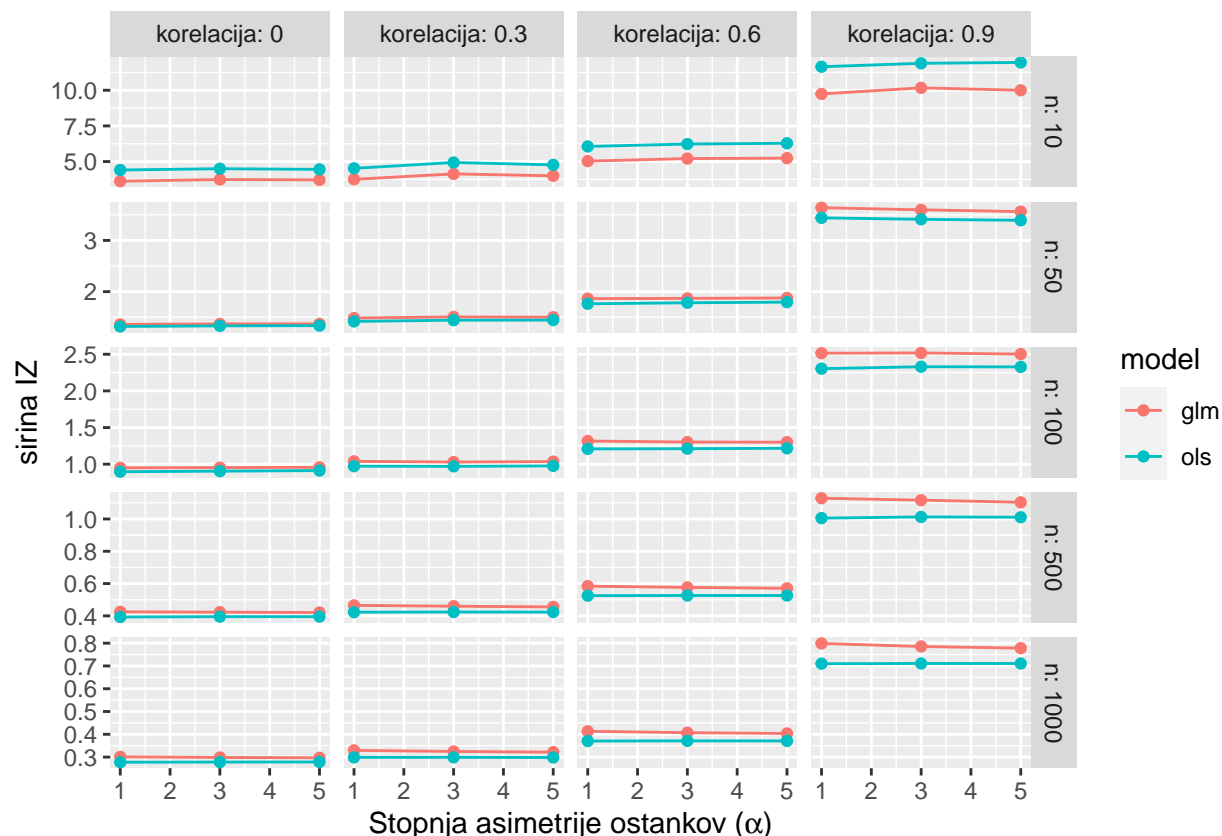
Velja torej, da ima v povprečju glm metoda od 1 do 2 o.t. boljšo pokritost, vendar pa ima tudi do 14% širše intervale zaupanja. Ta razlika med intervali zaupanja se najbolj poveča z večanjem velikosti vzorca. V splošnem pa velja, da pokritost z večanjem velikosti vzorca zraste za 4%. Visoka korelacija v kombinaciji z majhnim vzorcem je najbolj problematična, saj imamo tam tako manjšo pokritost kot tudi precej široke intervale zaupanja.

### Manj simetrična porazdelitev pojasnjevalnih spremenljivk

Enako kot smo si pogledali za asimetrično porazdelitev pojasnjevalnih spremenljivk, pogledajmo še za nekoliko bolj simetrično porazdelitev.



Slika 5: Pokritost intervalov zaupanja za koeficient  $\beta_1$  pri polnem modelu in Gamma(5,5) porazdelitvi pojasnjevalnih spremenljivk



Slika 6: Širina intervalov zaupanja za koeficient  $\beta_1$  pri polnem modelu in Gamma(5,5) porazdelitvi pojasnjevalnih spremenljivk

Ponovno hitro opazimo vpliv velikosti vzorca in korelacije ter da sama asimetrija ostankov nima bistvenega vpliva. Razlike med metodama so tokrat nekoliko manj opazne, sploh kar se tiče pokritosti. Za razlike v širinah intervalov zaupanja si moramo pogledati številke v tabelah, kjer bomo lažje razbrali ali so le-te manjše ali večje kot prej. Predvsem lahko opazimo, da če primerjamo graf širine intervalov zaupanja s prejšnjih grafom, kjer je upoštevana asimetrična porazdelitev, so intervali v splošnem nekoliko ožji.

Tabela 3: Pokritost intervalov zaupanja za koeficient  $\beta_1$  pri Gamma(5,5) porazdelitvi pojasnjevalnih spremenljivk

n	korelacija	glm	ols	razlika
10	0.3	0.91	0.94	-0.03
10	0.9	0.90	0.94	-0.04
100	0.3	0.95	0.95	0.00
100	0.9	0.96	0.95	0.01
1000	0.3	0.96	0.95	0.01
1000	0.9	0.95	0.94	0.01

Tabela 4: Širina intervalov zaupanja za koeficient  $\beta_1$  pri Gamma(5,5) porazdelitvi pojasnjevalnih spremenljivk

n	korelacija	glm	ols	razlika	razlika_pct
10	0.3	3.96	4.74	-0.78	-0.16
10	0.9	9.97	11.83	-1.86	-0.16
100	0.3	1.03	0.97	0.06	0.06
100	0.9	2.51	2.32	0.19	0.08
1000	0.3	0.33	0.30	0.03	0.10
1000	0.9	0.79	0.71	0.08	0.11

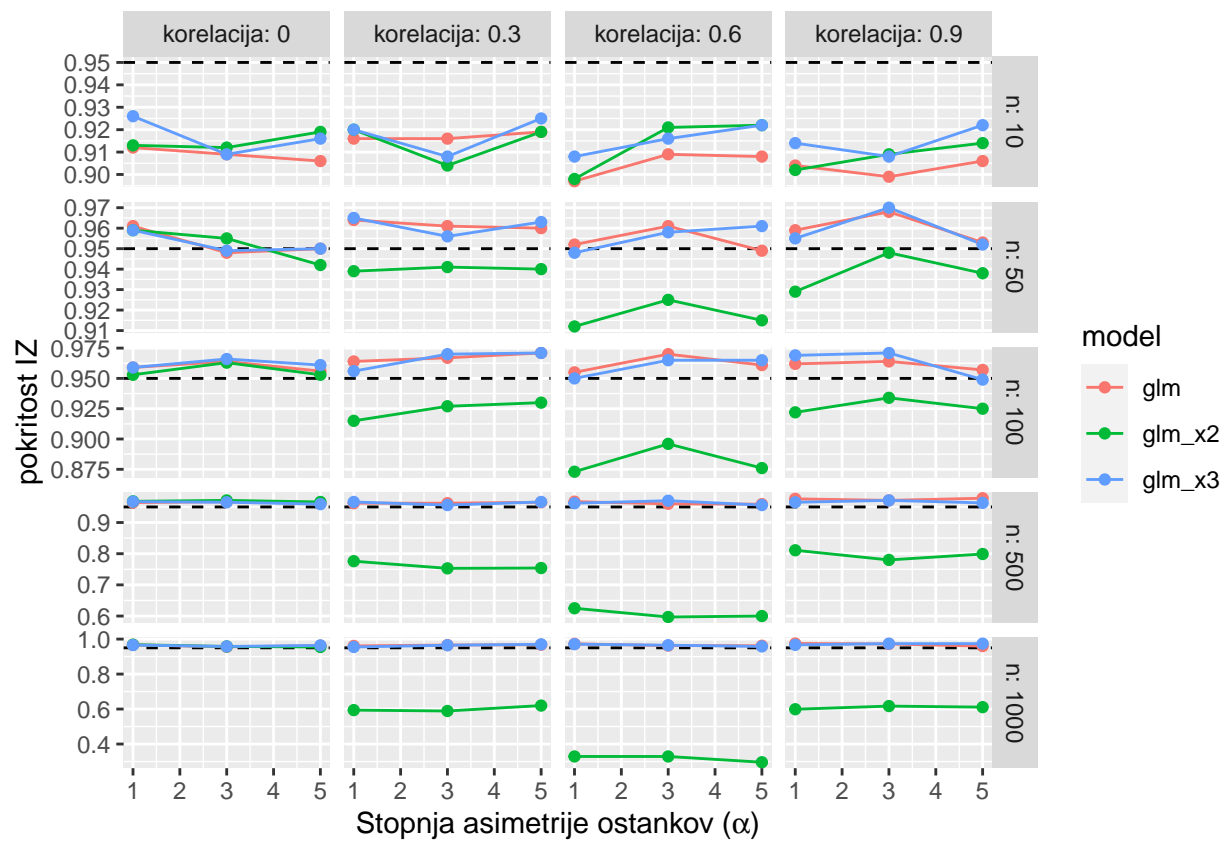
Številke v tabelah potrjujejo naša opažanja. Pri pokritosti je med metodama **glm** in **ols** manjša razlika in sicer je tokrat pokritost pri metodi **glm** višja za 0 do 1 o.t. Prav tako je manjša razlika v širini intervalov zaupanja. Ponovno pa velja, da se (procentualna) razlika v širini povečuje z večanjem velikosti vzorca.

## Vpliv odstranjevanja spremenljivk

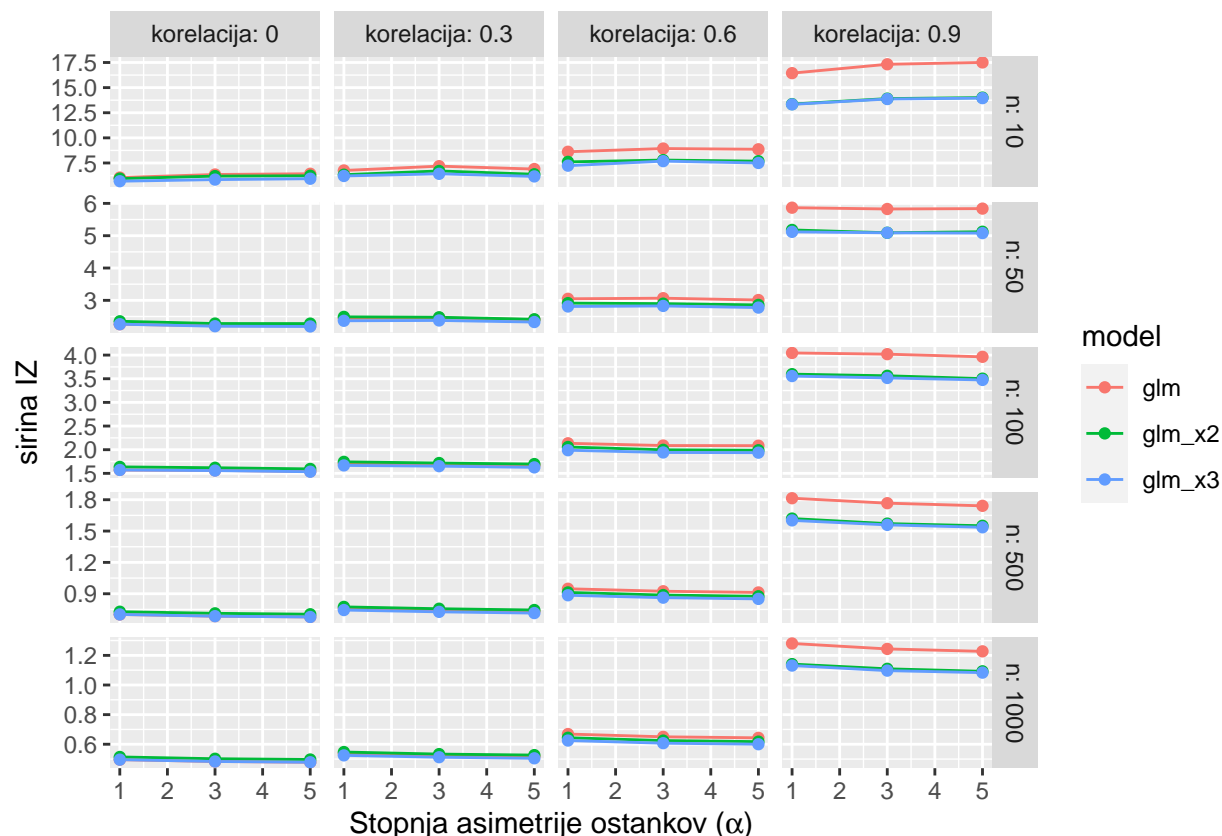
Poglejmo si še vpliv izločanja spremenljivk in ali se ta vpliv razlikuje med posameznimi metodami ter pri različnih porazdelitvah pojasnjevalnih spremenljivk.

### Zelo asimetrična porazdelitev pojasnjevalnih spremenljivk

Za začetek si pogledajmo, kako se razlikujejo rezultati pri posameznih metodah, potem pa bomo primerjali še posamezne modele z odstranjenimi spremenljivkami pri obeh metodah hkrati.



Slika 7: Pokritost intervalov zaupanja za koeficient  $\beta_1$  pri GLM in Gamma(2,5) porazdelitvi pojasnjevalnih spremenljivk



Slika 8: Širina intervalov zaupanja za koeficient  $\beta_1$  pri GLM in Gamma(2,5) porazdelitvi pojasnjevalnih spremenljivk

Pri majhnem vzorcu ni velikih razlik pri pokritosti modela, je pa nekaj razlike v širini intervala zaupanja, predvsem ob prisotnosti korelacije. Odstranitev spremenljivke  $X_3$  nima večjega vpliva, nekoliko višja je pokritost v primeru majhnega vzorca. Močnejše vpliva pa odstranitev spremenljivke  $X_2$ , ki ima dejanski vpliv na odvisno spremenljivko. Najbolj opazen je vpliv v primeru korelacije 0.6, kjer se precej zniža pokritost. V primeru še višje korelacije se pokritost dvigne, kar je pričakovano, saj so spremenljivke že zelo močno povezane in s tem, ko je ne vključimo, povzročimo manj škode. V splošnem so intervali zaupanja v primeru izključene spremenljivke ožji kot v polnem modelu, vendar pa ne smemo pozabiti, da je v primeru izključitve  $X_2$  zato slabša pokritost.

Kar je zanimivo, je, da se pokritost v primeru modela `glm_x2` močno poslabša, ko povečamo vzorec. To je najverjetneje posledica tega, da v primeru večjega vzorca nastane tudi večja razlika med pojasnjevalnimi spremenljivkami.

Najboljši model v tem primeru je, ko izključimo  $X_3$ , ki nima vpliva, saj imamo podobno pokritost, a ožji interval zaupanja. V naslednjih tabelah, ki potrjujejo naša opažanja, si lahko bolje ogledamo dejanske številke.

Tabela 5: Pokritost intervalov zaupanja za koeficient  $\beta_1$  pri GLM in Gamma(2,5) porazdelitvi pojasnjevalnih spremenljivk

n	korelacija	glm	glm_x2	glm_x3
10	0.3	0.92	0.91	0.92
10	0.9	0.90	0.91	0.91
100	0.3	0.97	0.92	0.97

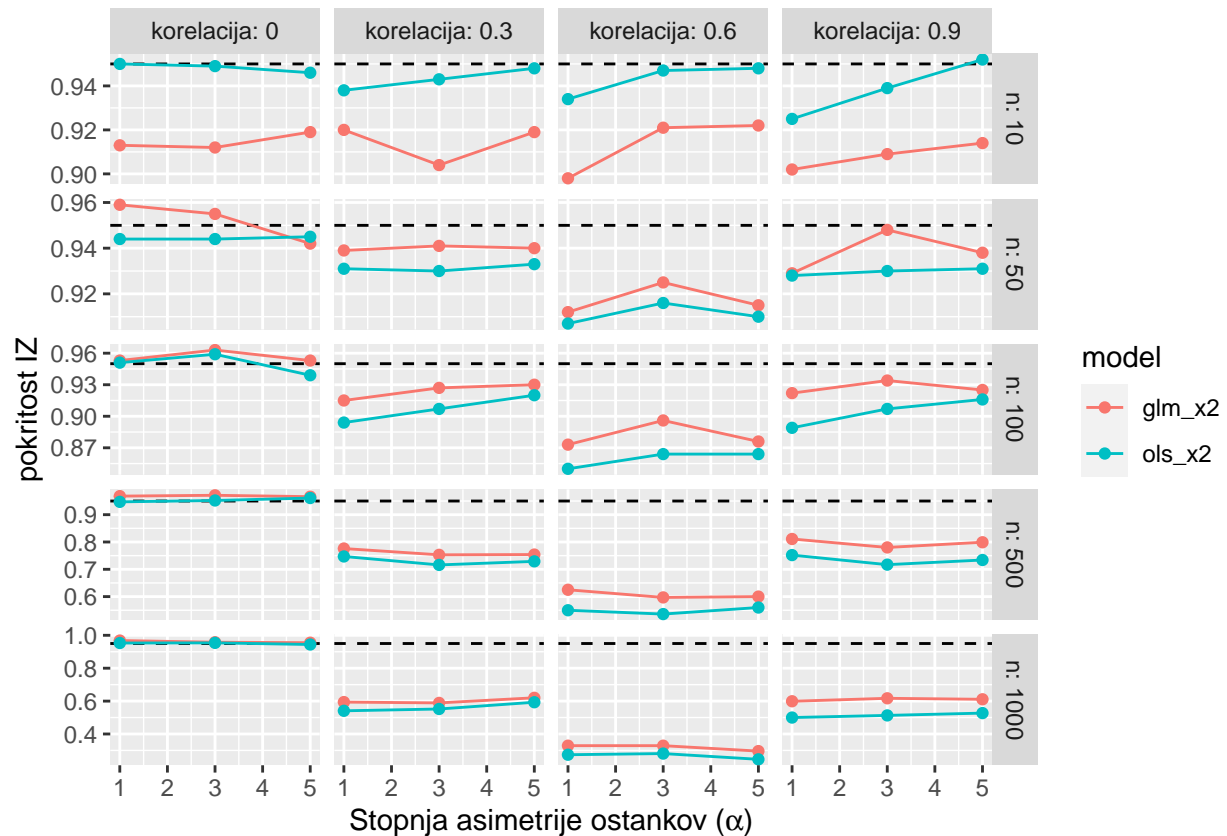


n	korelacija	glm	glm_x2	glm_x3
100	0.9	0.96	0.93	0.96
1000	0.3	0.96	0.60	0.96
1000	0.9	0.97	0.61	0.97

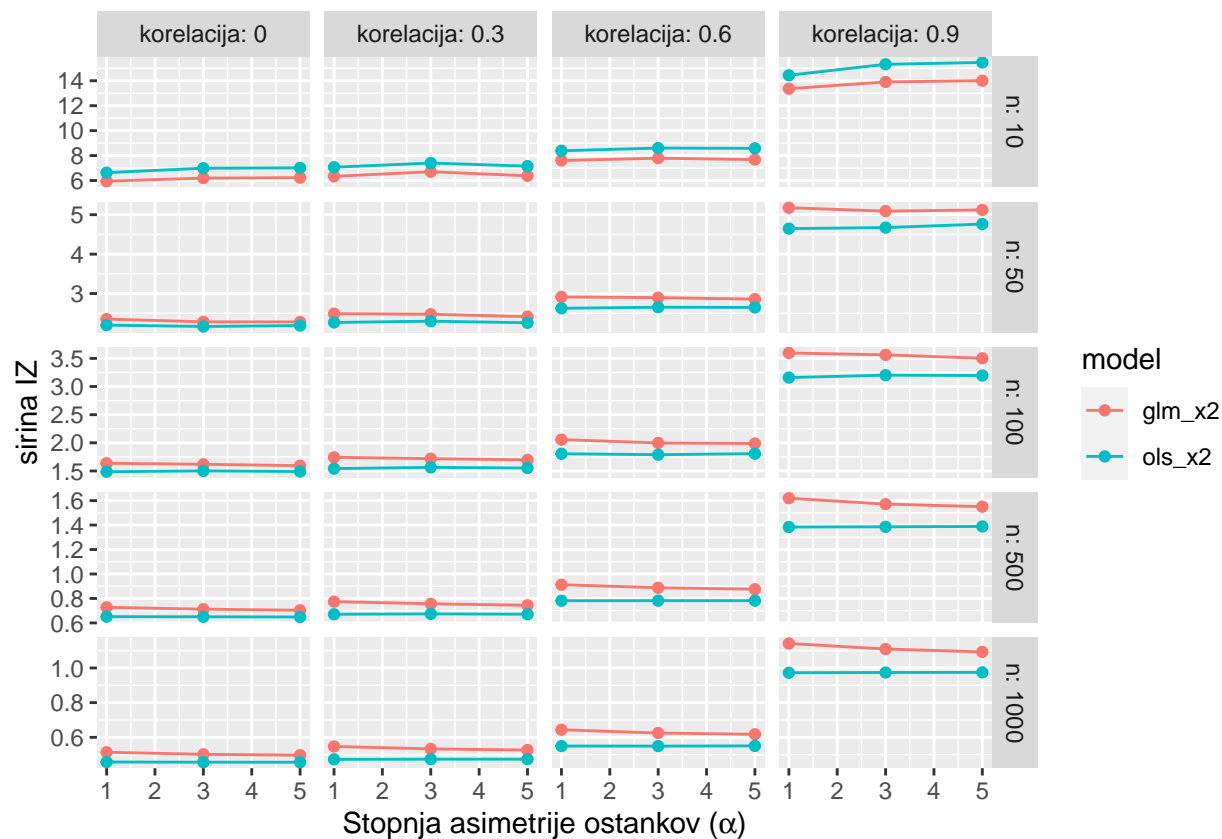
Tabela 6: Širina intervalov zaupanja za koeficient  $\beta_1$  pri GLM in Gamma(2,5) porazdelitvi pojasnjevalnih spremenljivk

n	korelacija	glm	glm_x2	glm_x3
10	0.3	6.94	6.47	6.26
10	0.9	17.09	13.76	13.72
100	0.3	1.69	1.72	1.65
100	0.9	4.01	3.55	3.52
1000	0.3	0.53	0.54	0.51
1000	0.9	1.25	1.11	1.10

Poglejmo si še razlike med metodama, kjer izločimo eno od spremenljivk. Najprej si pogledjmo rezultate modela brez  $X_2$ .



Slika 9: Pokritost intervalov zaupanja za koeficient  $\beta_1$  pri modelu brez  $X_2$  in Gamma(2,5) porazdelitvi pojasnjevalnih spremenljivk



Slika 10: Širina intervalov zaupanja za koeficient  $\beta_1$  pri modelu brez  $X_2$  in Gamma(2,5) porazdelitvi pojasnjevalnih spremenljivk

Tabela 7: Pokritost intervalov zaupanja za koeficient  $\beta_1$  pri modelu brez  $X_2$  in Gamma(2,5) porazdelitvi pojasnjevalnih spremenljivk

n	korelacija	glm_x2	ols_x2	razlika
10	0.3	0.91	0.94	-0.03
10	0.9	0.91	0.94	-0.03
100	0.3	0.92	0.91	0.01
100	0.9	0.93	0.90	0.03
1000	0.3	0.60	0.56	0.04
1000	0.9	0.61	0.51	0.10

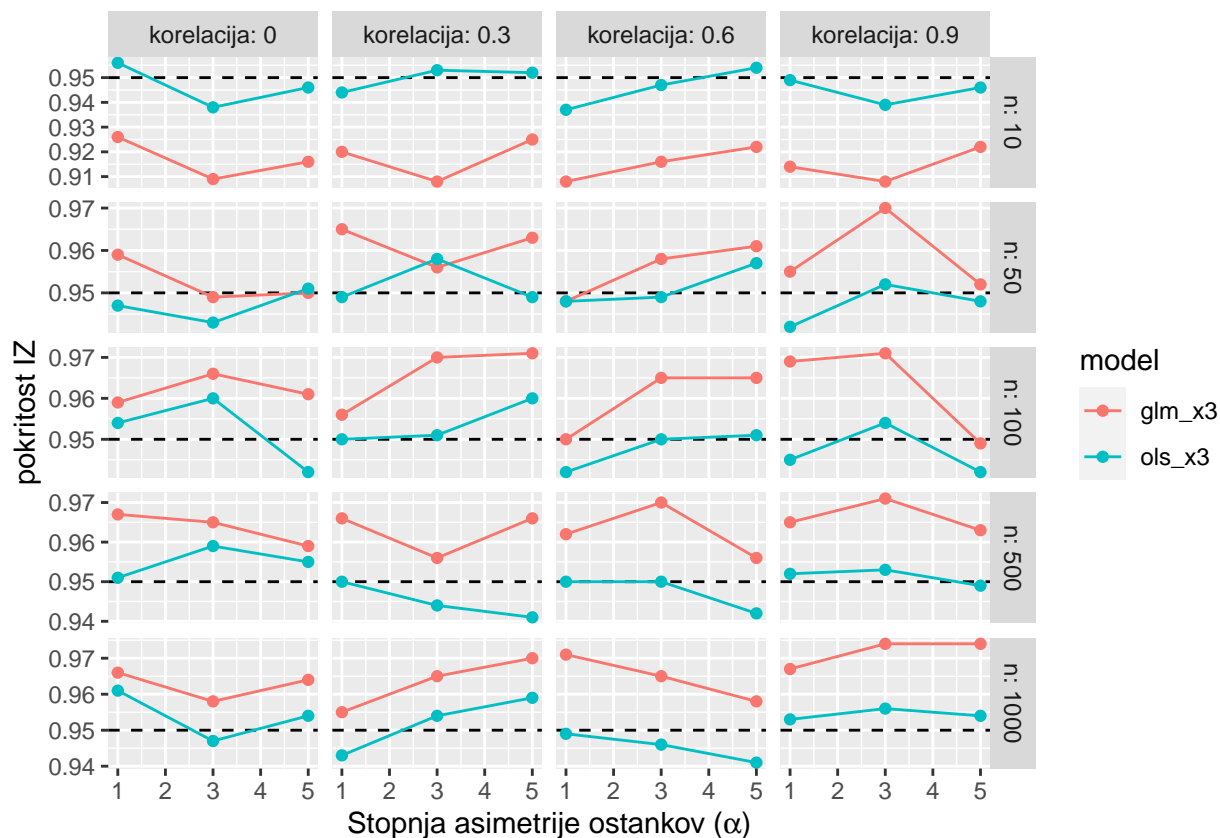
Tabela 8: Širina intervalov zaupanja za koeficient  $\beta_1$  pri modelu brez  $X_2$  in Gamma(2,5) porazdelitvi pojasnjevalnih spremenljivk

n	korelacija	glm_x2	ols_x2	razlika	razlika_pct
10	0.3	6.47	7.21	-0.74	-0.10
10	0.9	13.76	15.08	-1.32	-0.09
100	0.3	1.72	1.55	0.17	0.11
100	0.9	3.55	3.19	0.36	0.11
1000	0.3	0.54	0.47	0.07	0.15

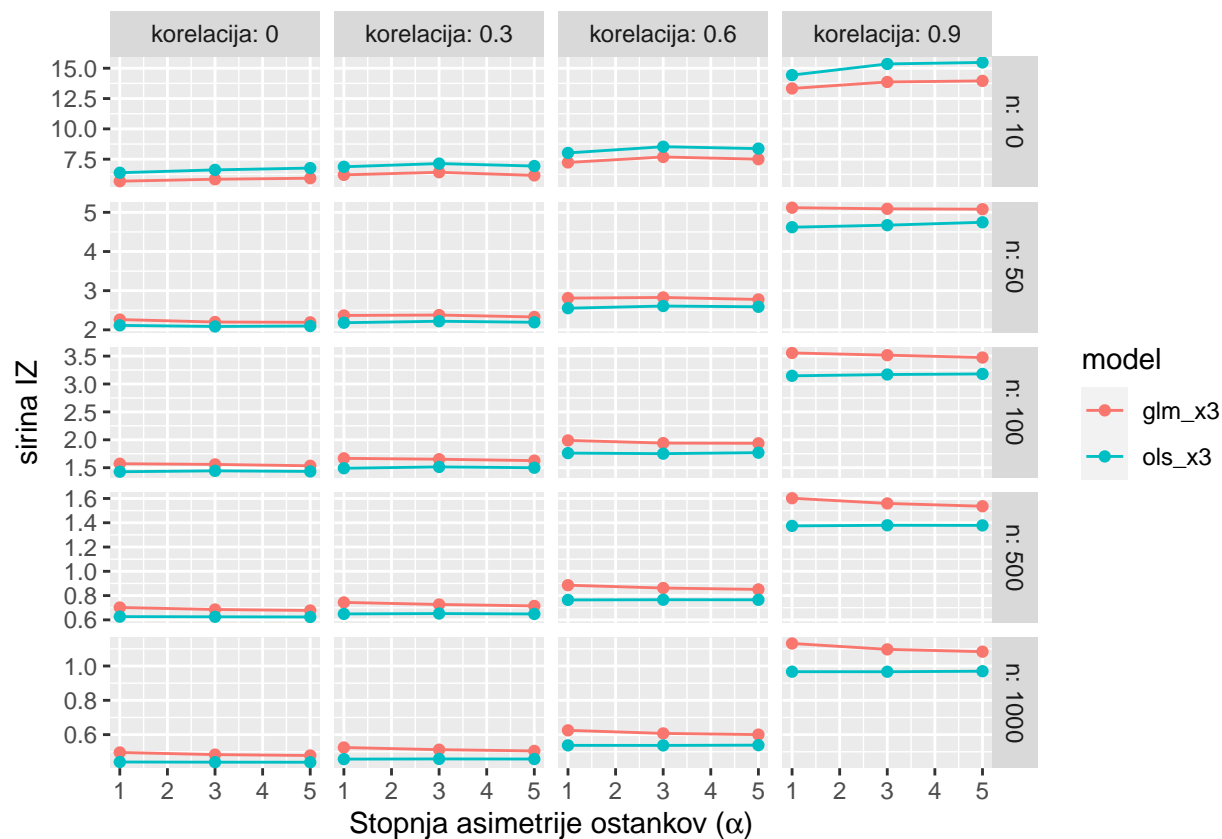
n	korelacija	glm_x2	ols_x2	razlika	razlika_pct
1000	0.9	1.11	0.97	0.14	0.14

Rezultati so podobni kot v primeru polnega modela, večja razlika nastane pri velikih vzorcih. Pri večjih vzorcih glede na polni model nastane večja razlika pri pokritosti. Razlika v širini intervala zaupanja je podobna kot v polnem modelu.

Kaj pa, če odstranimo  $X_3$ ?



Slika 11: Pokritost intervalov zaupanja za koeficient  $\beta_1$  pri modelu brez  $X_3$  in Gamma(2,5) porazdelitvi pojasnjevalnih spremenljivk



Slika 12: Širina intervalov zaupanja za koeficient  $\beta_1$  pri modelu brez  $X_3$  in Gamma(2,5) porazdelitvi pojasnjevalnih spremenljivk

Tabela 9: Pokritost intervalov zaupanja za koeficient  $\beta_1$  pri modelu brez  $X_3$  in Gamma(2,5) porazdelitvi pojasnjevalnih spremenljivk

n	korelacija	glm_x3	ols_x3	razlika
10	0.3	0.92	0.95	-0.03
10	0.9	0.91	0.94	-0.03
100	0.3	0.97	0.95	0.02
100	0.9	0.96	0.95	0.01
1000	0.3	0.96	0.95	0.01
1000	0.9	0.97	0.95	0.02

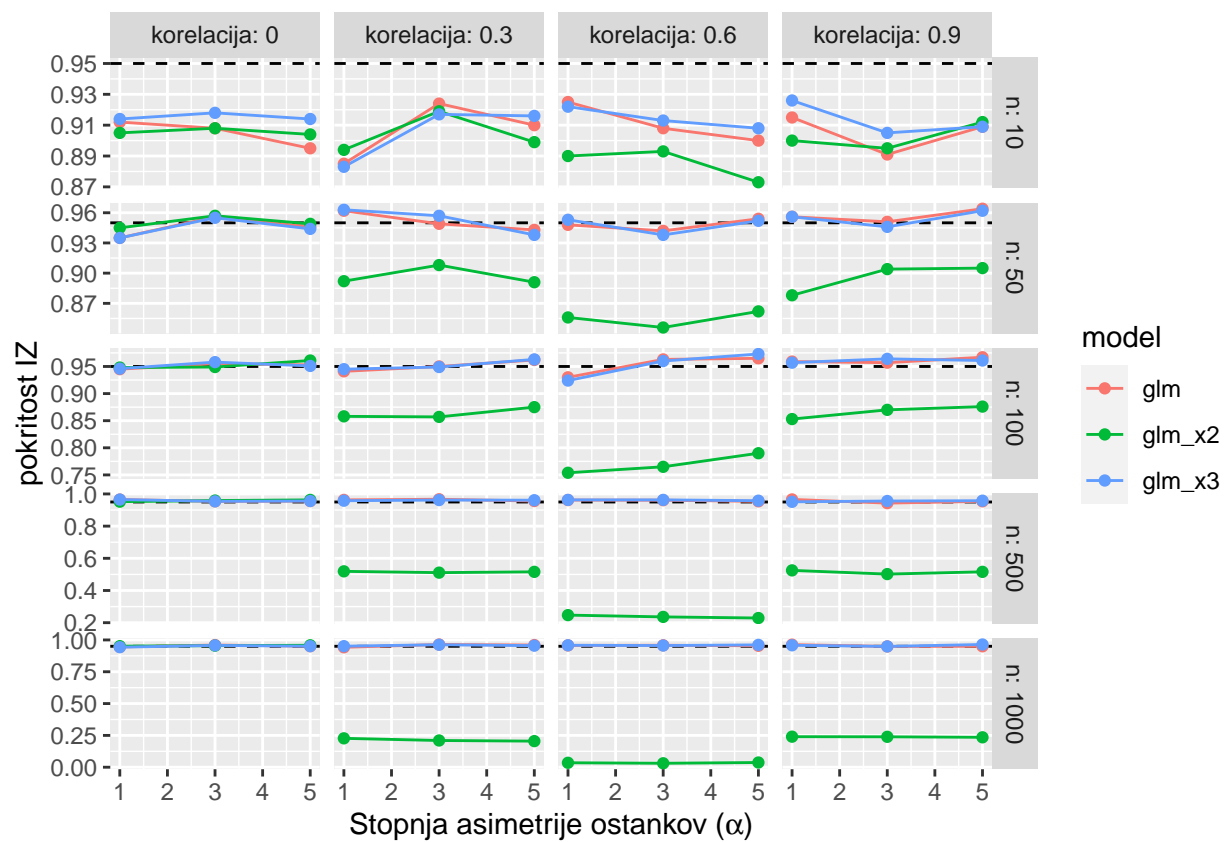
Tabela 10: Širina intervalov zaupanja za koeficient  $\beta_1$  pri modelu brez  $X_3$  in Gamma(2,5) porazdelitvi pojasnjevalnih spremenljivk

n	korelacija	glm_x3	ols_x3	razlika	razlika_pct
10	0.3	6.26	6.98	-0.72	-0.10
10	0.9	13.72	15.09	-1.37	-0.09
100	0.3	1.65	1.50	0.15	0.10
100	0.9	3.52	3.17	0.35	0.11
1000	0.3	0.51	0.46	0.05	0.11

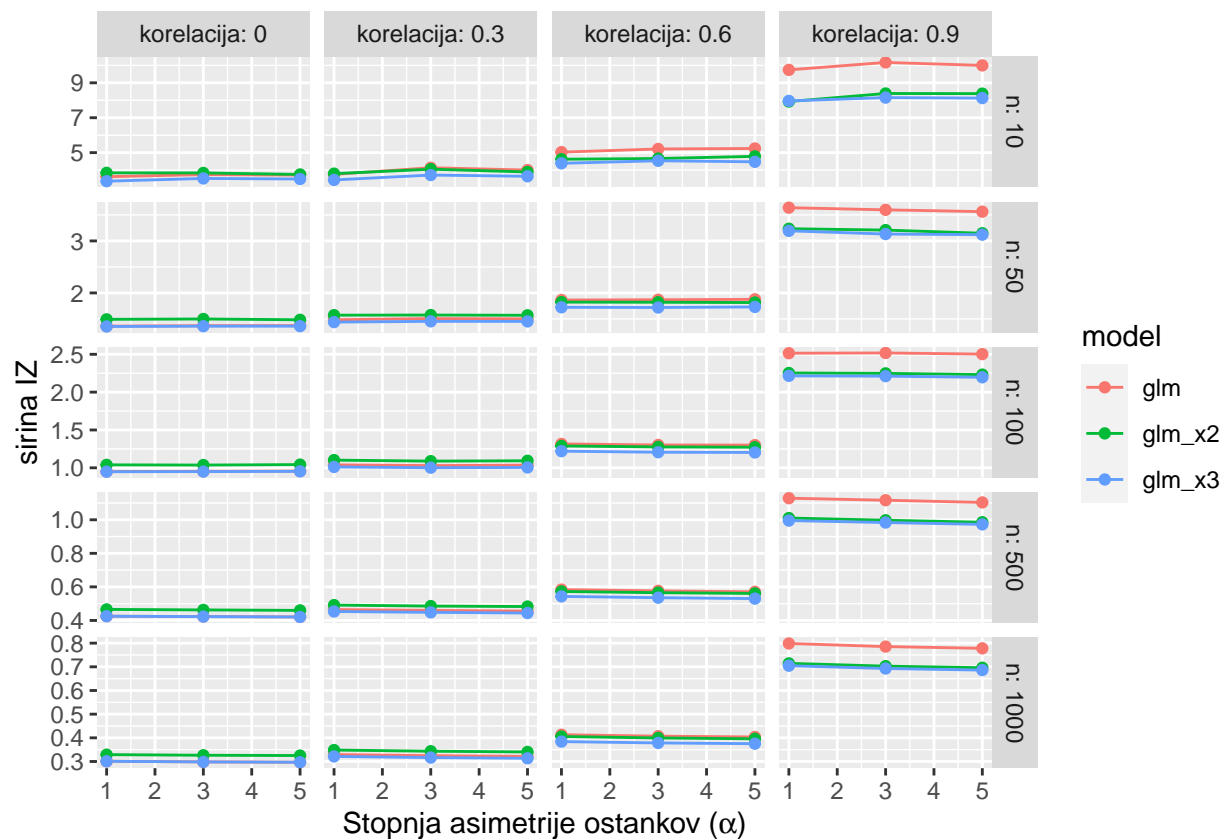
n	korelacija	glm_x3	ols_x3	razlika	razlika_pct
1000	0.9	1.10	0.97	0.13	0.13

Rezultati so zelo podobni kot v primeru polnega modela.

#### Manj asimetrična porazdelitev pojasnjevalnih spremenljivk



Slika 13: Pokritost intervalov zaupanja za koeficient  $\beta_1$  pri GLM in Gamma(5,5) porazdelitvi pojasnjevalnih spremenljivk



Slika 14: Širina intervalov zaupanja za koeficient  $\beta_1$  pri GLM in Gamma(5,5) porazdelitvi pojasnjevalnih spremenljivk

Rezultati so na videz podobni tistim z bolj asimetrično porazdelitvijo pojasnjevalnih spremenljivk.

Tabela 11: Pokritost intervalov zaupanja za koeficient  $\beta_1$  pri GLM in Gamma(5,5) porazdelitvi pojasnjevalnih spremenljivk

n	korelacija	glm	glm_x2	glm_x3
10	0.3	0.91	0.90	0.91
10	0.9	0.90	0.90	0.91
100	0.3	0.95	0.86	0.95
100	0.9	0.96	0.87	0.96
1000	0.3	0.96	0.21	0.96
1000	0.9	0.95	0.24	0.96

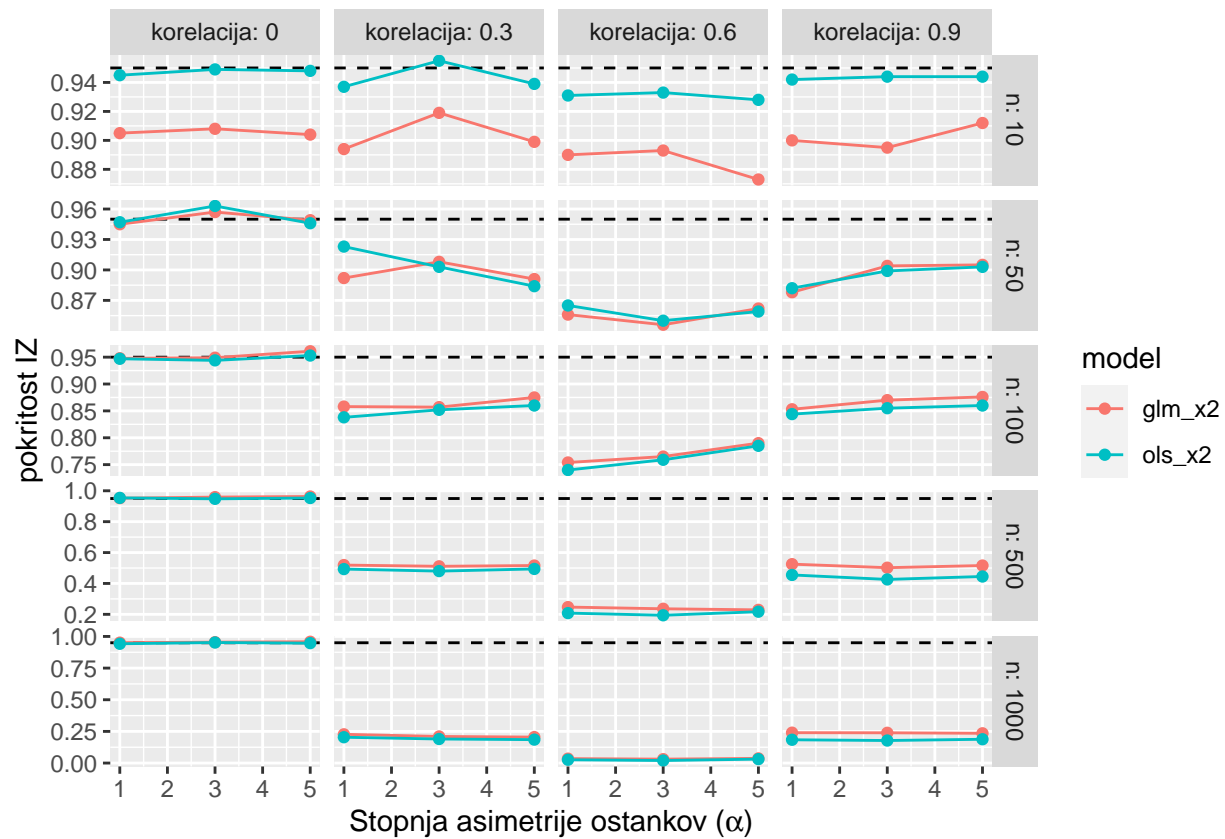
Tabela 12: Širina intervalov zaupanja za koeficient  $\beta_1$  pri GLM in Gamma(5,5) porazdelitvi pojasnjevalnih spremenljivk

n	korelacija	glm	glm_x2	glm_x3
10	0.3	3.96	3.91	3.60
10	0.9	9.97	8.23	8.08
100	0.3	1.03	1.09	1.01
100	0.9	2.51	2.24	2.21

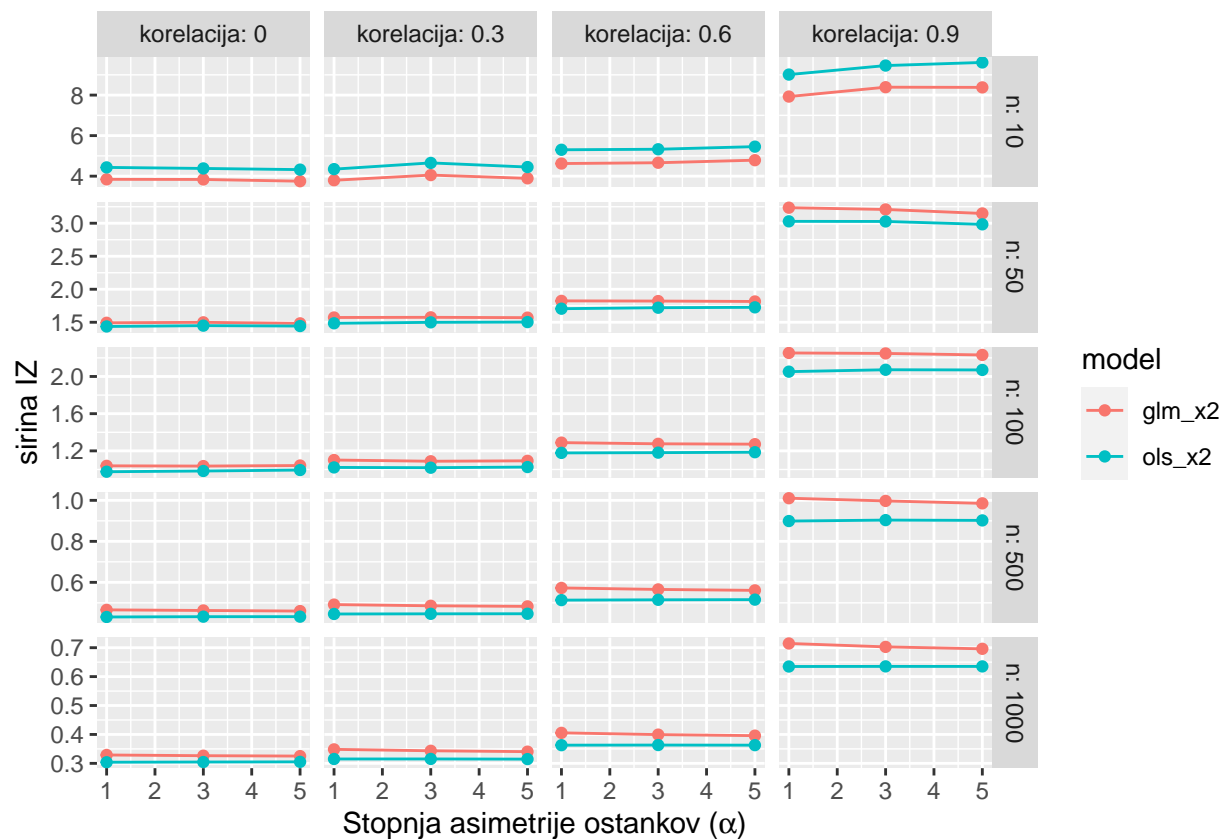
n	korelacija	glm	glm_x2	glm_x3
1000	0.3	0.33	0.34	0.32
1000	0.9	0.79	0.70	0.69

Poglejmo si še razlike med metodama pri odstranjenih spremenljivkah.

Odstranimo  $X_2$ .



Slika 15: Pokritost intervalov zaupanja za koeficient  $\beta_1$  pri modelu brez  $X_2$  in Gamma(5,5) porazdelitvi pojasnjevalnih spremenljivk



Slika 16: Širina intervalov zaupanja za koeficient  $\beta_1$  pri modelu brez  $X_2$  in Gamma(5,5) porazdelitvi pojasnjevalnih spremenljivk

Tabela 13: Pokritost intervalov zaupanja za koeficient  $\beta_1$  pri modelu brez  $X_2$  in Gamma(5,5) porazdelitvi pojasnjevalnih spremenljivk

n	korelacija	glm_x2	ols_x2	razlika
10	0.3	0.90	0.94	-0.04
10	0.9	0.90	0.94	-0.04
100	0.3	0.86	0.85	0.01
100	0.9	0.87	0.85	0.02
1000	0.3	0.21	0.19	0.02
1000	0.9	0.24	0.18	0.06

Tabela 14: Širina intervalov zaupanja za koeficient  $\beta_1$  pri modelu brez  $X_2$  in Gamma(5,5) porazdelitvi pojasnjevalnih spremenljivk

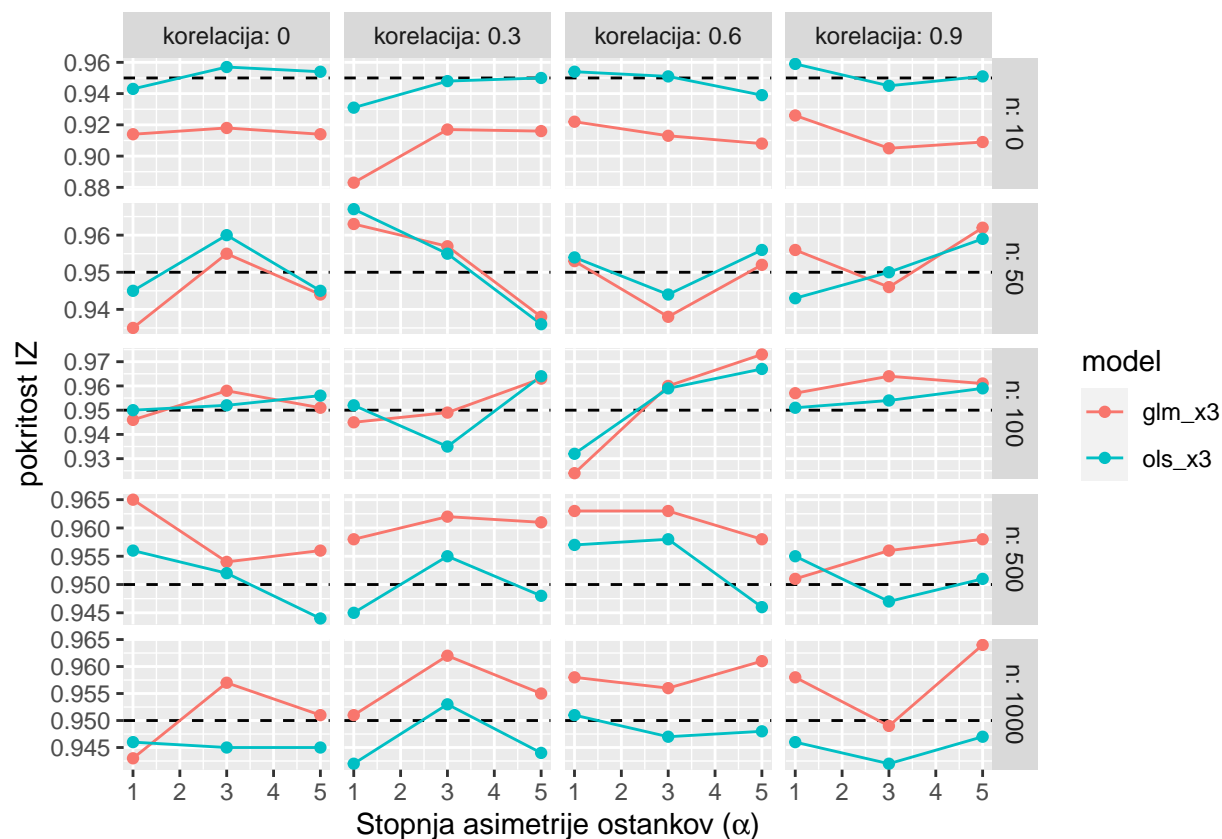
n	korelacija	glm_x2	ols_x2	razlika	razlika_pct
10	0.3	3.91	4.48	-0.57	-0.13
10	0.9	8.23	9.36	-1.13	-0.12
100	0.3	1.09	1.02	0.07	0.07
100	0.9	2.24	2.06	0.18	0.09
1000	0.3	0.34	0.31	0.03	0.10



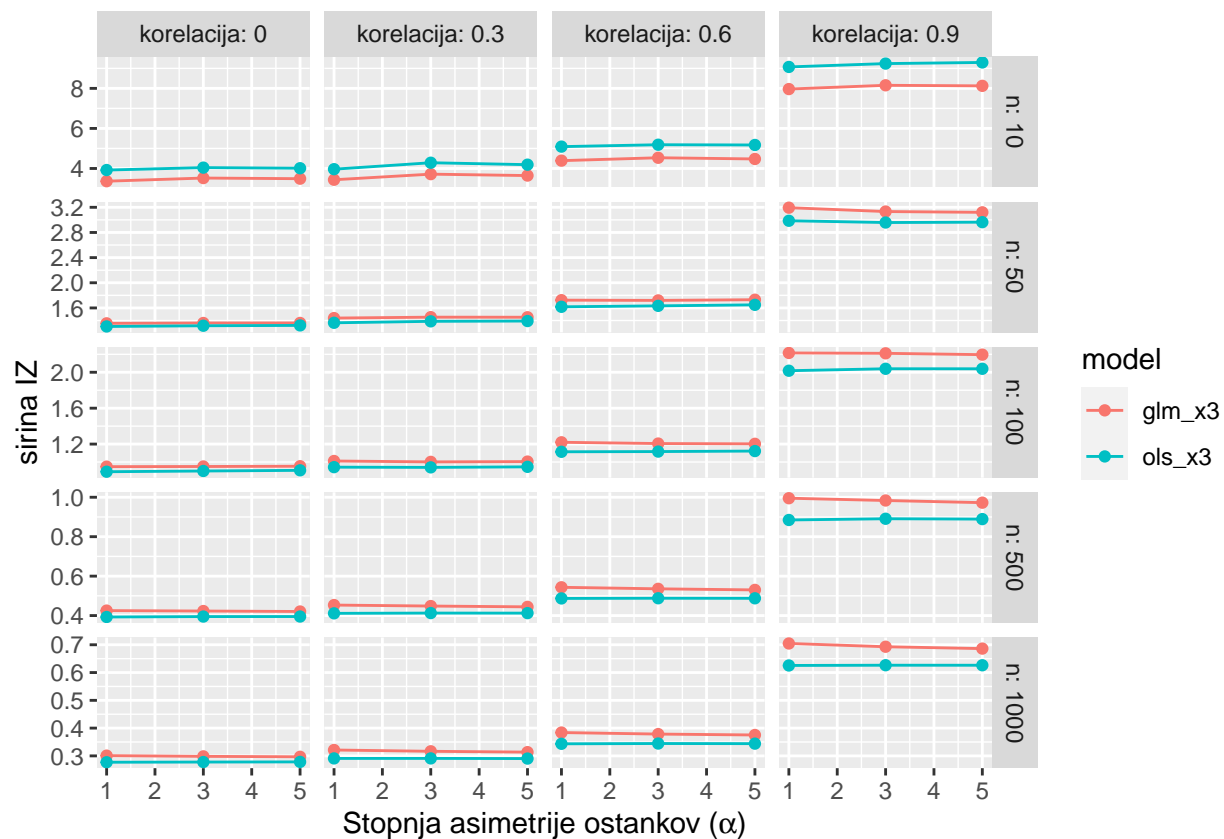
n	korelacija	glm_x2	ols_x2	razlika	razlika_pct
1000	0.9	0.70	0.64	0.06	0.09

Rezultati so podobni kot v primeru polnega modela, vseeno pa je razlika v pokritosti nekoliko višja. Večjo pokritost ima metoda glm, hkrati pa širše intervale zaupanja.

Kaj pa, če odstranimo  $X_3$ ?



Slika 17: Pokritost intervalov zaupanja za koeficient  $\beta_1$  pri modelu brez  $X_3$  in Gamma(5,5) porazdelitvi pojasnjevalnih spremenljivk



Slika 18: Širina intervalov zaupanja za koeficient  $\beta_1$  pri modelu brez  $X_3$  in Gamma(5,5) porazdelitvi pojasnjevalnih spremenljivk

Tabela 15: Pokritost intervalov zaupanja za koeficient  $\beta_1$  pri modelu brez  $X_3$  in Gamma(5,5) porazdelitvi pojasnjevalnih spremenljivk

n	korelacija	glm_x3	ols_x3	razlika
10	0.3	0.91	0.94	-0.03
10	0.9	0.91	0.95	-0.04
100	0.3	0.95	0.95	0.00
100	0.9	0.96	0.95	0.01
1000	0.3	0.96	0.95	0.01
1000	0.9	0.96	0.94	0.02

Tabela 16: Širina intervalov zaupanja za koeficient  $\beta_1$  pri modelu brez  $X_3$  in Gamma(5,5) porazdelitvi pojasnjevalnih spremenljivk

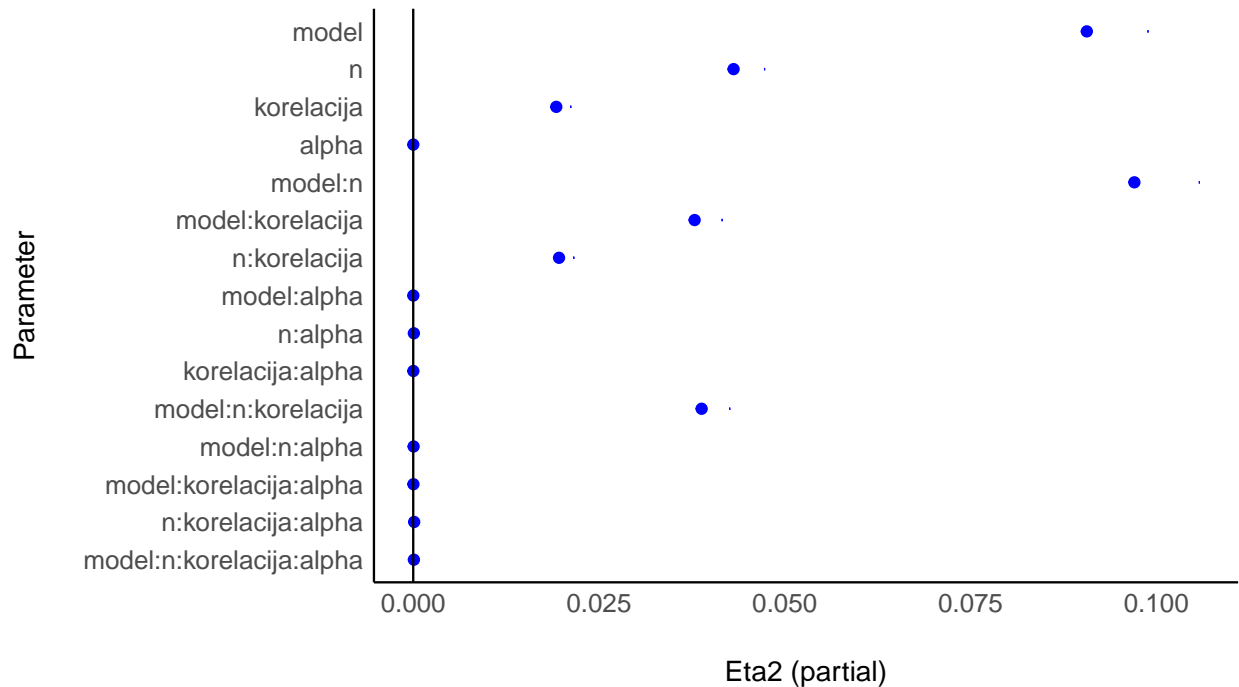
n	korelacija	glm_x3	ols_x3	razlika	razlika_pct
10	0.3	3.60	4.15	-0.55	-0.13
10	0.9	8.08	9.20	-1.12	-0.12
100	0.3	1.01	0.94	0.07	0.07
100	0.9	2.21	2.03	0.18	0.09
1000	0.3	0.32	0.29	0.03	0.10

n	korelacija	glm_x3	ols_x3	razlika	razlika_pct
1000	0.9	0.69	0.63	0.06	0.10

Rezultati so zelo podobni kot v primeru polnega modela.

## Analiza variance in velikost učinka

Ker smo že zgoraj ugotovili, da ni večjih razlik pri pokritosti in širini intervalov zaupanja med posameznimi regresijskimi koeficienti, bomo analizo variance naredili na rezultatih za koeficient  $\beta_1$ . Na spodnjih grafih je tako prikazana velikost učinka pri analizi varianci za pokritost in kasneje še za širino intervala zaupanja glede na vključene spremenljivke. Rezultati iz grafov beremo hierarhično, torej koliko posamezna spremenljivka dodatno pojasni variabilnosti, glede na že upoštevane spremenljivke.



Slika 19: Velikost učinka pri analizi variance za pokritost intervala zaupanja

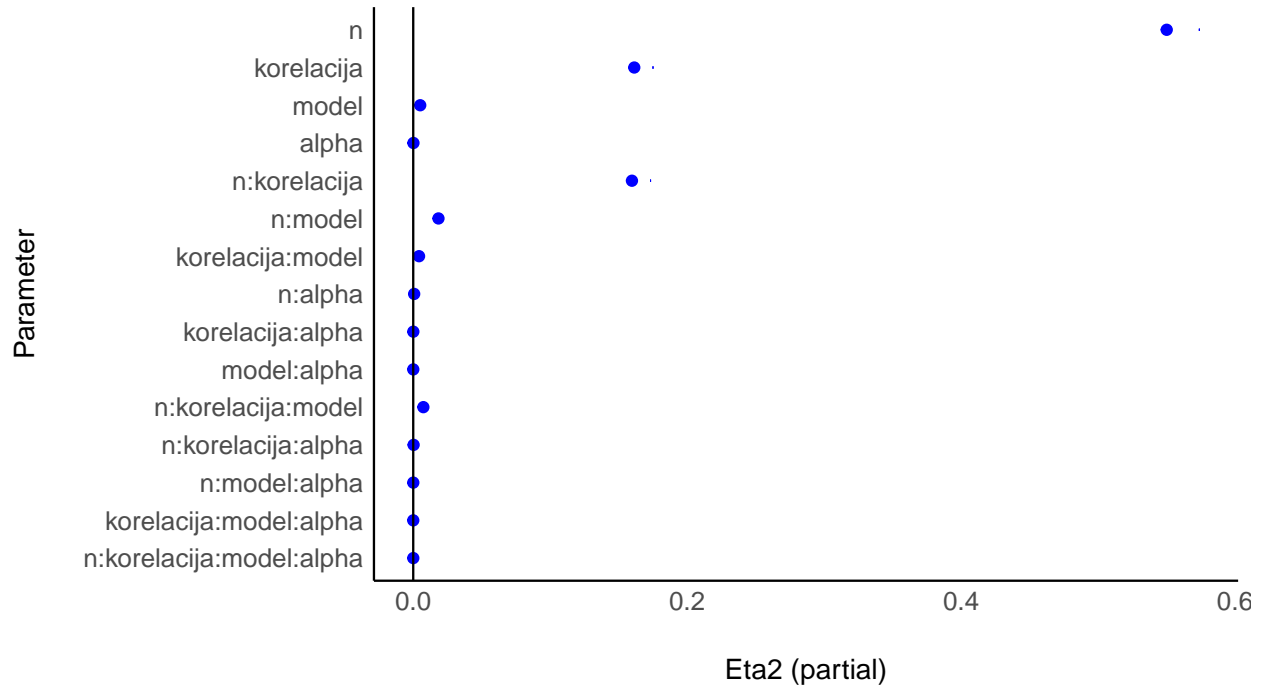
Iz zgornjega grafa lahko razberemo, da nobena od spremenljivk ne pojasni velikega deleža variabilnosti v pokritosti intervala zaupanja, je pa kar nekaj takih, ki pojasnijo manjši del in ki imajo statistično značilen vpliv (to nam pove povzetek modela anove, ki ni vključen v prikaz).

Vidimo, da na začetku model pojasni nekaj manj kot 10% variabilnosti pokritosti intervala zaupanja. Za tem velikost vzorca pojasni okrog 3% preostale variabilnosti in korelacija nekaj manj kot 2.5%. Asimetričnost ostankov za tem dodatno ne pojasni nič variabilnosti. Za tem nekoliko večji del variabilnosti (glede na ostale vplive) dodatno pojasnijo še interakcija med modelom in velikostjo vzorca, interakcija med modelom in korelacijo ter na koncu še interakcija modela, velikosti vzorca in korelacije.

Pri tem se moramo zavedati, da znotraj spremenljivke model ni samo *glm* ali *lm*, vendar so upoštevani še ne polni modeli. To poudarimo zato, ker je učinek najverjetneje posledica nepolnih modelov, kjer smo tudi v prejšnjih prikazih zaznali vpliv, medtem ko med *lm* in *glm* modeloma nismo opazili razlik.

Vpliv variabilnosti in velikost vzorca smo prav tako zaznali že iz prejšnjih grafov, analiza variance in velikost učinka pa nam naša opažanja še dodatno potrdita. Poglejmo si še velikost učinka pri analizi variance za

širino intervalov zaupanja.



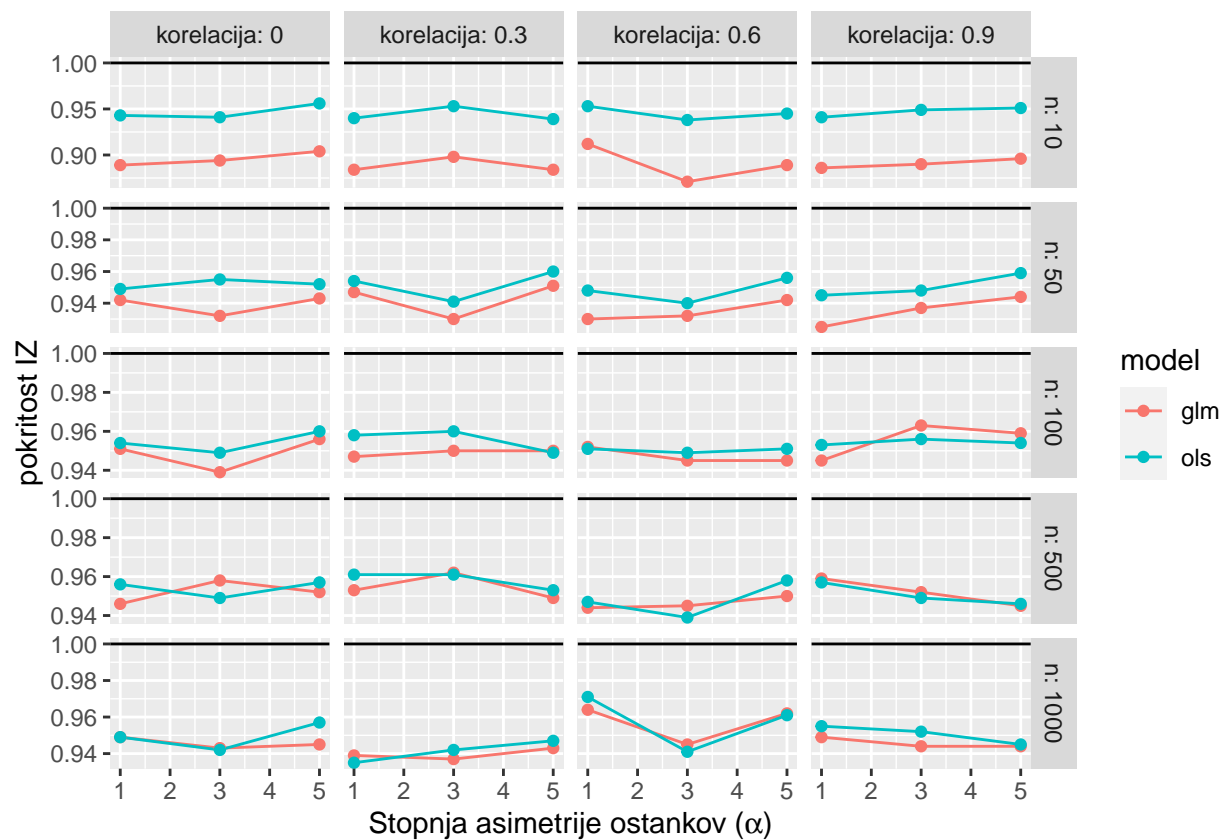
Slika 20: Velikost učinka pri analizi variance za širino intervala zaupanja

Opazimo, da v tem primeru ni tako veliko spremenljivk, ki bi pojasnjevale variabilnost intervalov zaupanja. Okrog 60% variabilnost opazovane spremenljivke pojasni velikost vzorca, od preostale variabilnosti pa nekaj več kot 20% pojasni korelacija med neodvisnimi spremenljivkami. Model in asimetričnost ostankov dodatno ne pojasnita večjega dela variabilnosti širine intervala zaupanja, okrog 20% pa dodatno pojasnjuje še interakcija med velikostjo vzorca in korelacijo. Ponovno nam prikaz in analiza variance potrjujeta naša predhodna opazovanja.

## Transformacija odzivne spremenljivke

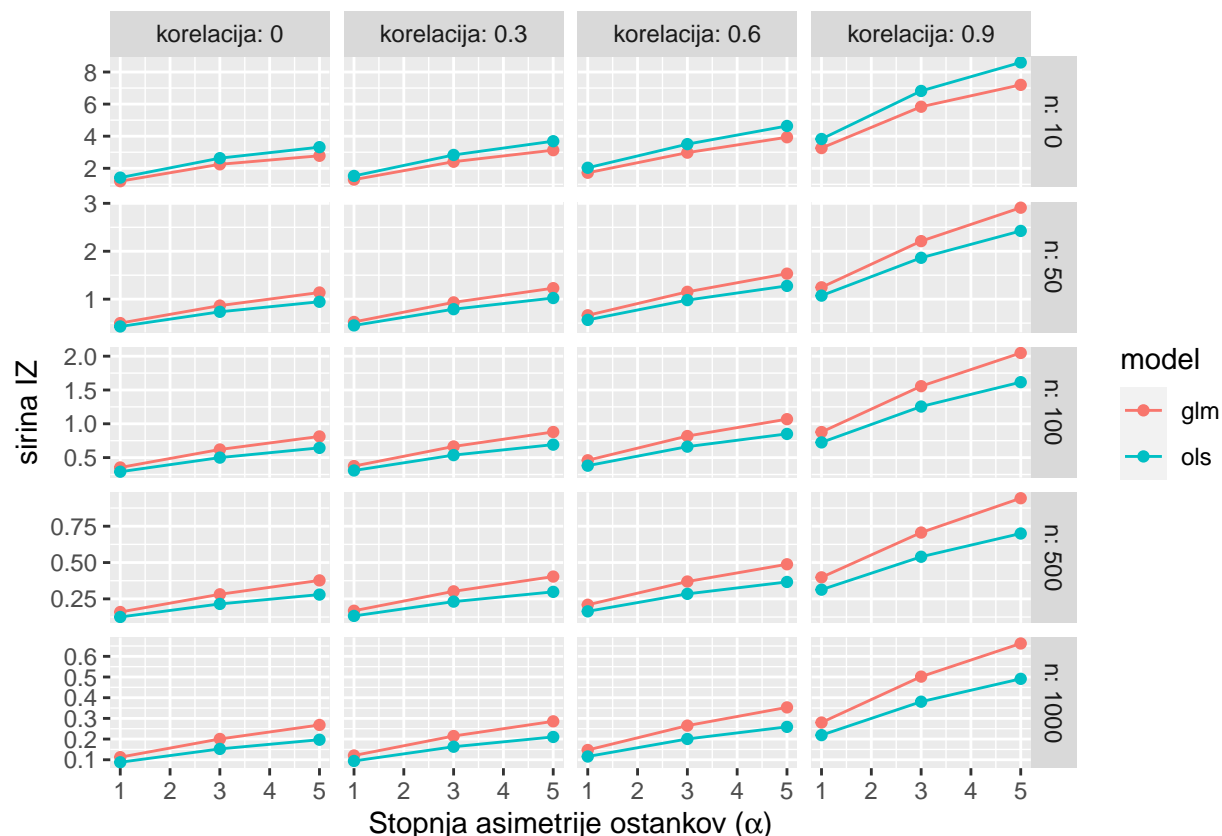
V tem poglavju so predstavljeni še rezultati simulacij, kjer je uporabljena logaritemska transformacija. Pri teh simulacijah nas je zanimala predvsem razlika med uporabo transformacije v formuli funkcije  $lm$  ( $\log(Y) = \beta X$ ) in uporabo logaritemske link funkcije ( $link = "log"$ ) v funkciji  $glm$ . Vseeno pa si bomo pogledali tudi razlike med rezultati pri različnih parametrih.

## Zelo asimetrična porazdelitev pojasnjevalnih spremenljivk



Slika 21: Pokritost intervalov zaupanja za koeficient  $\beta_1$  pri Gamma(2,5) porazdelitvi pojasnjevalnih spremenljivk

Na prvem grafu vidimo, da je pokritost IZ pri navadni linearni regresiji boljša kot pri linearnih modelih. Razlika je očitna predvsem pri manjših vzorcih, pri dovolj velikih pa praktično ni razlik (številke so razvidne v tabeli 17).



Slika 22: Širina intervalov zaupanja za koeficient  $\beta_1$  pri Gamma(2,5) porazdelitvi pojasnjevalnih spremenljivk

Širina intervalov zaupanja je pri obeh metodah precej podobna, vendar se linearna regresija vseeno izkaže za malenkost boljšo. Razlike se povečujejo predvsem z večanjem korelacije med pojasnjevalnimi spremenljivkami in z večanjem vzorca (kar je bolje vidno v tabeli 18). Predvidevamo, da je večanje širine intervalov zaupanja s večanjem stopnje asimetrije ostankov povezano s tem, da variance tokrat nismo skalirali. Točne številke za širine in pokritosti IZ so predstavljene v naslednjih dveh tabelah.

Tabela 17: Pokritost intervalov zaupanja za koeficient  $\beta_1$  pri Gamma(2,5) porazdelitvi pojasnjevalnih spremenljivk

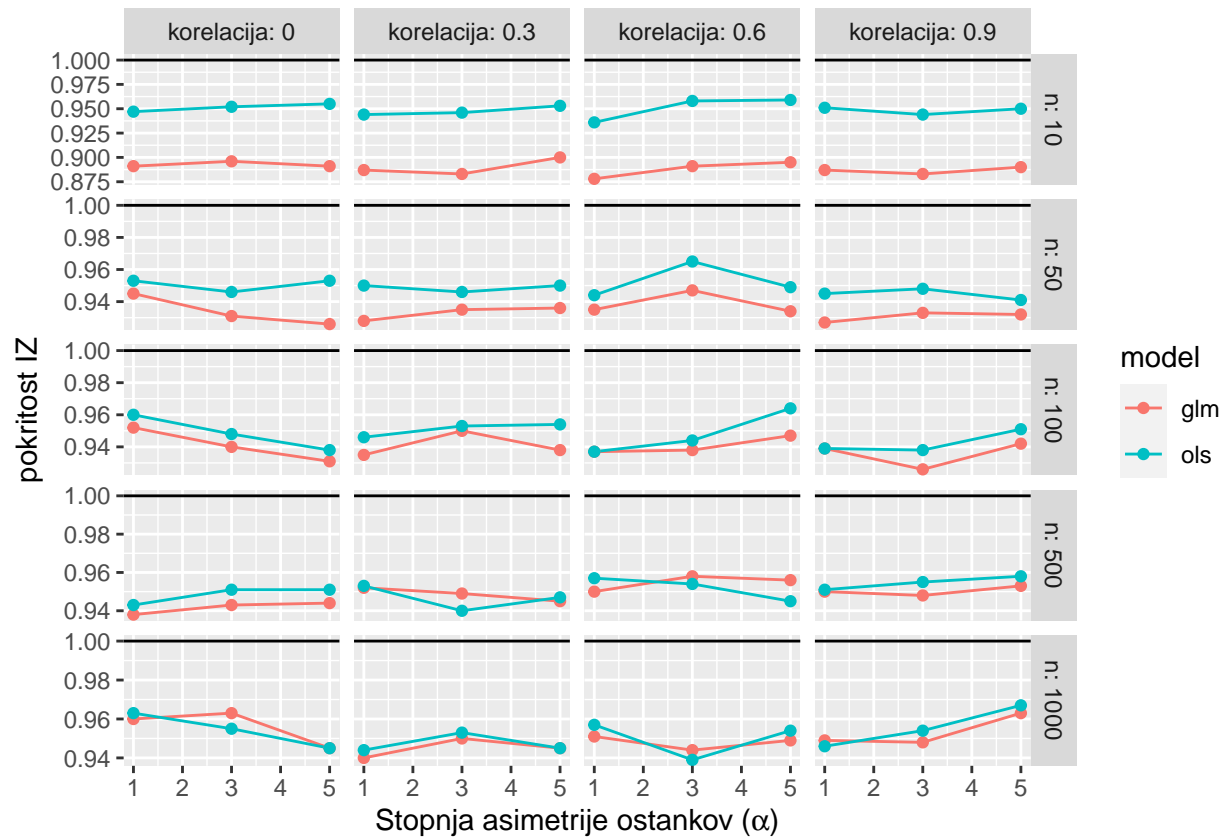
n	korelacija	glm	ols	razlika
10	0.3	0.89	0.94	-0.05
10	0.9	0.89	0.95	-0.06
100	0.3	0.95	0.96	-0.01
100	0.9	0.96	0.95	0.01
1000	0.3	0.94	0.94	0.00
1000	0.9	0.95	0.95	0.00

Tabela 18: Širina intervalov zaupanja za koeficient  $\beta_1$  pri Gamma(2,5) porazdelitvi pojasnjevalnih spremenljivk

n	korelacija	glm	ols	razlika	razlika_pct
10	0.3	2.28	2.68	-0.40	-0.15
10	0.9	5.43	6.41	-0.98	-0.15

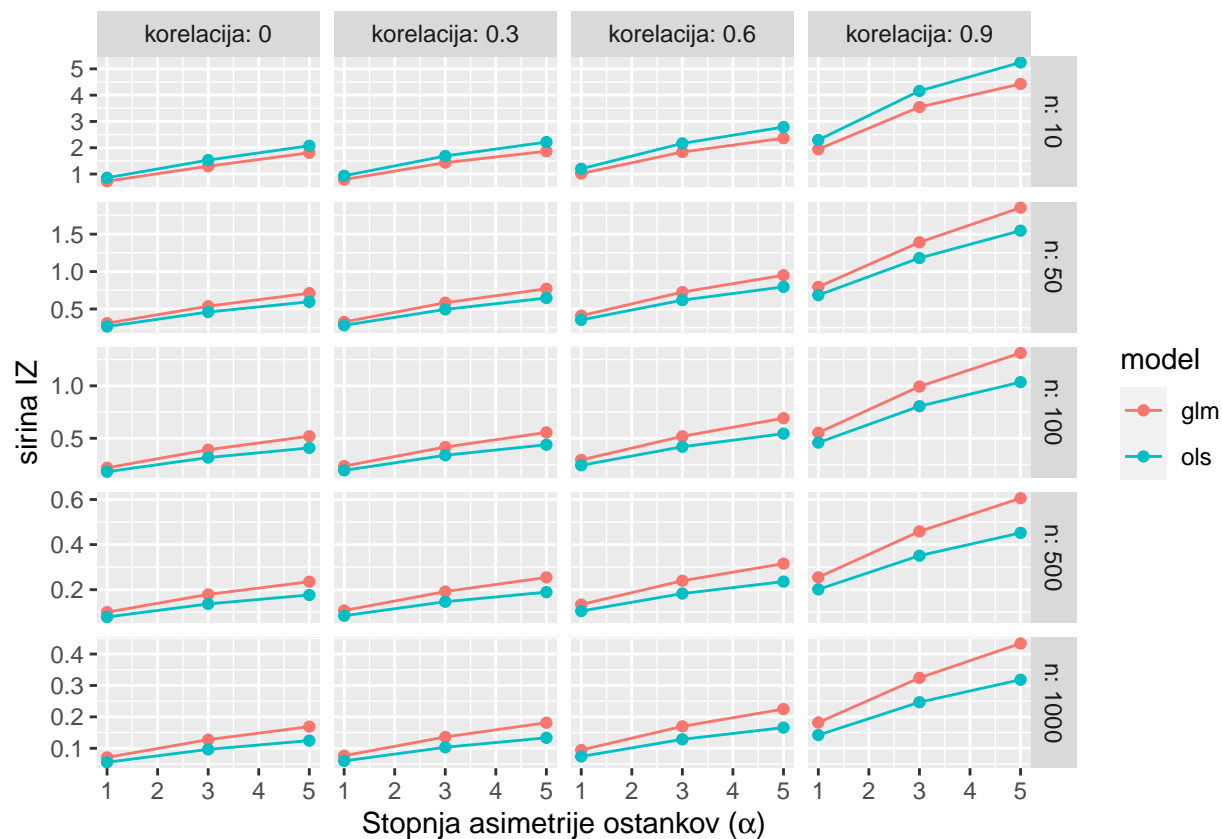
n	korelacija	glm	ols	razlika	razlika_pct
100	0.3	0.64	0.51	0.13	0.25
100	0.9	1.49	1.20	0.29	0.24
1000	0.3	0.21	0.16	0.05	0.31
1000	0.9	0.48	0.36	0.12	0.33

### Manj asimetrična porazdelitev pojasnjevalnih spremenljivk



Slika 23: Pokritost intervalov zaupanja za koeficient  $\beta_1$  pri  $\text{Gamma}(5,5)$  porazdelitvi pojasnjevalnih spremenljivk

Pri  $\text{Gamma}(5,5)$  porazdelitvi pojasnjevalnih spremenljivk pridemo do podobnih zaključkov kot pri  $\text{Gamma}(2,5)$ . Pokritost pri  $lm$  je boljša od pokritosti pri  $glm$  metodi, razlike so večje pri manjših vzorcih. Stopnja asimetrije ostankov tu ne igra vloge, prav tako korelacija med pojasnjevalnimi spremenljivkami.



Slika 24: Širina intervalov zaupanja za koeficient  $\beta_1$  pri  $\text{Gamma}(5,5)$  porazdelitvi pojasnjevalnih spremenljivk

Slika 24 je zelo podobna Sliki 22, le da je skala širine IZ pomaknjena nekoliko višje. Predvsem pri manjših vzorcih je širina IZ v primeru porazdelitve  $\text{Gamma}(2,5)$  v povprečju očitno večja od širine v primeru  $\text{Gamma}(5,5)$ . To opazimo, ko primerjamo tabeli 18 in 20.

Tabela 19: Pokritost intervalov zaupanja za koeficient  $\beta_1$  pri  $\text{Gamma}(5,5)$  porazdelitvi pojasnjevalnih spremenljivk

n	korelacija	glm	ols	razlika
10	0.3	0.89	0.95	-0.06
10	0.9	0.89	0.95	-0.06
100	0.3	0.94	0.95	-0.01
100	0.9	0.94	0.94	0.00
1000	0.3	0.94	0.95	-0.01
1000	0.9	0.95	0.96	-0.01

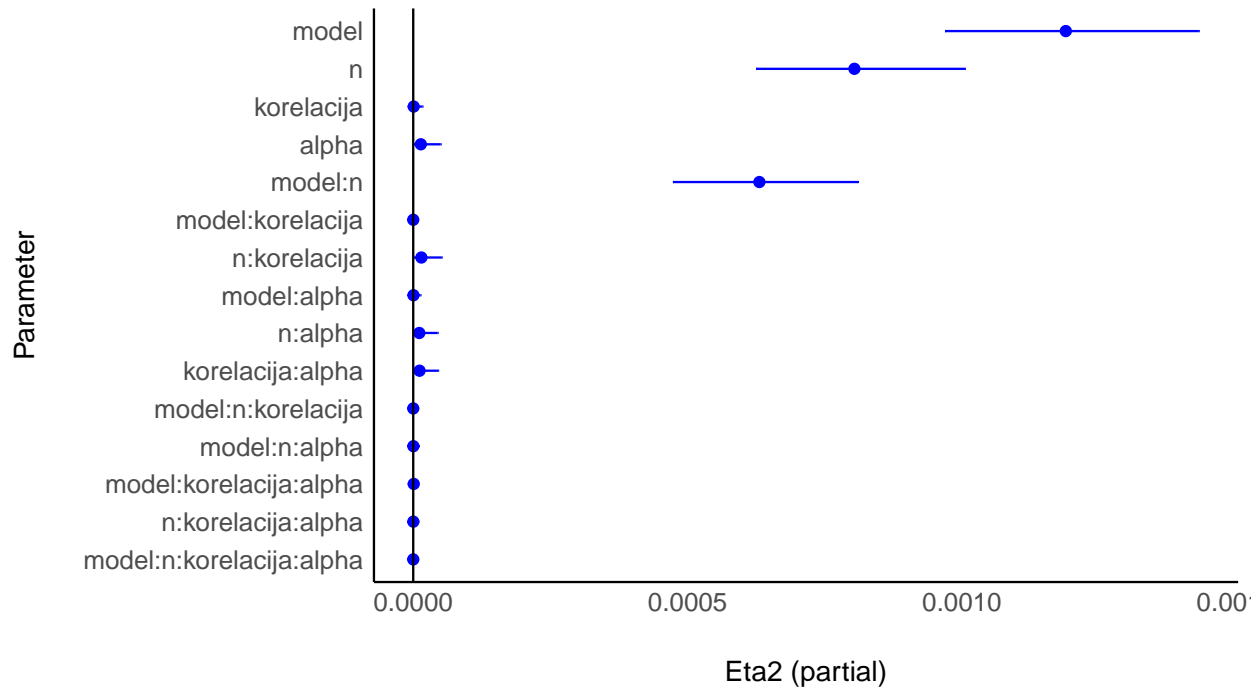
Tabela 20: Širina intervalov zaupanja za koeficient  $\beta_1$  pri  $\text{Gamma}(5,5)$  porazdelitvi pojasnjevalnih spremenljivk

n	korelacija	glm	ols	razlika	razlika_pct
10	0.3	1.36	1.61	-0.25	-0.16
10	0.9	3.31	3.90	-0.59	-0.15
100	0.3	0.40	0.32	0.08	0.25

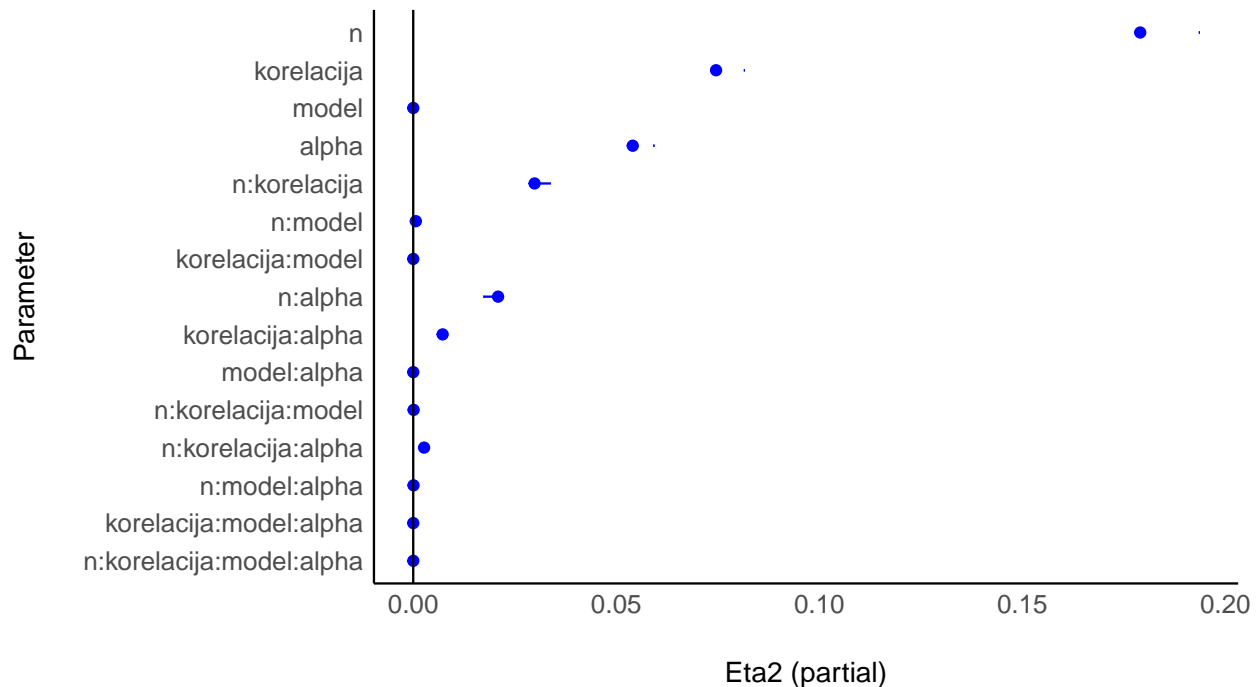


n	korelacija	glm	ols	razlika	razlika_pct
100	0.9	0.95	0.77	0.18	0.23
1000	0.3	0.13	0.10	0.03	0.30
1000	0.9	0.31	0.24	0.07	0.29

### Analiza variance



Slika 25: Velikost učinka pri analizi variance za pokritost intervala zaupanja



Slika 26: Velikost učinka pri analizi variance za širino intervala zaupanja

## Ugotovitve

Vse za prilagodit novim grafom in dopolnit.

Ugotovili smo, da asimetrija pojasnjevalnih spremenljivk nima pomembnega vpliva na pokritost in širino intervalov zaupanja regresijskih koeficientov. Prav tako smo ugotovili, da med metodama *glm* in *lm* ni posebnih razlik pri ocenah regresijskih koeficientov. Ker naju je ta ugotovitev presenetila, sva poskusili najti podoben problem v kakšni drugi literaturi in naleteli na delo P. E. Johnsona, ki je prišel do podobnih ugotovitev. Sklenil je, da gama porazdelitev ostankov le redkokdaj vpliva na ocene regresijskih koeficientov, kljub temu, da so kršene nekatere predpostavke.

Večja korelacija med pojasnjevalnimi spremenljivkami poveča širino intervalov zaupanja regresijskih koeficientov, na pokritosti pa nima večjega vpliva.

Asimetrija porazdelitve ostankov na pokritost IZ regresijskih koeficientov nima posebnega vpliva, v kombinaciji z večjo korelacijo med pojasnjevalnimi spremenljivkami pa vpliva na širino IZ regresijskih koeficientov.

Z večanjem velikosti vzorca se pričakovano ožajo intervali zaupanja regresijskih koeficientov. Na pokritost IZ velikost vzorca nima vpliva.

Izločitev spremenljivke  $X_3$  iz modela po pričakovanjih nima bistvenega vpliva na ocene regresijskih koeficientov, saj smo podatke generirali pod predpostavko  $\beta_3 = 0$ . Izločitev spremenljivke  $X_2$  pri večjih vzorcih vpliva na slabšo pokritost IZ regresijskega koeficienta  $\beta_1$ .

## Viri

- P. E. Johnson, *GLM with a Gamma-distributed Dependent Variable*, [ogled 05.01.2020], dostopno na [https://pj.freefaculty.org/guides/stat/Regression-GLM/Gamma/GammaGLM-01.pdf?fbclid=IwAR14W34VhGzyG0wPiqNTk1hWjIToAug6a2TsPsTeZKLj\\_ntfTxaR1Aowiko](https://pj.freefaculty.org/guides/stat/Regression-GLM/Gamma/GammaGLM-01.pdf?fbclid=IwAR14W34VhGzyG0wPiqNTk1hWjIToAug6a2TsPsTeZKLj_ntfTxaR1Aowiko)

- V. Maver, *Normalni linearni mešani modeli*, diplomsko delo, Fakulteta za matematiko in fiziko, Univerza v Ljubljani, 2018.
- J. Jiang, *Linear and Generalized Linear Mixed Models and Their Applications*, Springer Series in Statistics, Springer Science + Business Media, LLC, New York, 2007.
- *glm*, v: RDocumentation, [ogled 30.12.2020], dostopno na <https://www.rdocumentation.org/packages/stats/versions/3.6.0/topics/glm>.
- *lm*, v: RDocumentation, [ogled 30.12.2020], dostopno na <https://www.rdocumentation.org/packages/stats/versions/3.6.2/topics/lm>.
- *confint*, v: RDocumentation, [ogled 02.01.2021], dostopno na <https://www.rdocumentation.org/packages/stats/versions/3.6.2/topics/confint>
- M. Raič, *O linearni regresiji*, 2014. Najdeno na spletnem naslovu: [http://valjhun.fmf.uni-lj.si/~raicm/Odlomki/Linearna\\_regresija.pdf](http://valjhun.fmf.uni-lj.si/~raicm/Odlomki/Linearna_regresija.pdf)
- L. Pfajfar, *Osnovna ekonometrija*, učbeniki Ekonomske fakultete, Ljubljana, 2018.
- *lcmix*, v: rdrv.io, [ogled 18.01.2021], dostopno na <https://rdrv.io/rforge/lcmix/src/R/distributions.R>
- *mvgamma*, v: rdrv.io, [ogled 18.01.2021], dostopno na <https://rdrv.io/rforge/lcmix/man/mvgamma.html>
- K. Siegrist, *5.8. The Gama Distribution*, [ogled 20.01.2020], dostopno na [https://stats.libretexts.org/Bookshelves/Probability\\_Theory/Book%3A\\_Probability\\_Mathematical\\_Statistics\\_and\\_Stochastic\\_Processes\\_\(Siegrist\)/05%3A\\_Special\\_Distributions/5.08%3A\\_The\\_Gamma\\_Distribution](https://stats.libretexts.org/Bookshelves/Probability_Theory/Book%3A_Probability_Mathematical_Statistics_and_Stochastic_Processes_(Siegrist)/05%3A_Special_Distributions/5.08%3A_The_Gamma_Distribution)

## Priloge

Koda za simulacije brez transformacij se nahaja v priloženi datoteki `Simulacije.R`, njeni rezultati pa v datoteki `rezultati_simulacije.R`. Koda za simulacije s transformacijami se nahaja v priloženi datoteki `Simulacije_log.R`, njeni rezultati pa v datoteki `rezultati_simulacije_log.R`. Poročilo je bilo pripravljeno v `seminarska_RZM.Rmd` datoteki, ki vsebuje tudi kodo za grafe. Za pravilen prevod `Rmd` datoteke je potrebno v isti mapi imeti datoteko `header.tex`, ki poskrbi za lepši prevod datoteke (slovenski naslovi slik, tabel in podobno).

Sledi izpis ANOVE za pokritost intervalov zaupanja pri modelu brez transformacije.

```
##               Df Sum Sq Mean Sq  F value    Pr(>F)
## model                5    5139   1027.7  14346.406 < 2e-16 ***
## n                    4    2322    580.6   8104.944 < 2e-16 ***
## korelacija           3    1012    337.2   4707.760 < 2e-16 ***
## alpha                2         0      0.2      3.417  0.0328 *
## model:n             20    5540    277.0   3867.053 < 2e-16 ***
## model:korelacija     15    2029    135.3   1888.147 < 2e-16 ***
## n:korelacija         12    1032     86.0  1200.197 < 2e-16 ***
## model:alpha          10         1      0.1      0.745  0.6821
## n:alpha              8         4      0.6      7.705 2.22e-10 ***
## korelacija:alpha      6         1      0.1      1.659  0.1267
## model:n:korelacija    60    2082    34.7   484.285 < 2e-16 ***
## model:n:alpha         40         3      0.1      0.901  0.6487
## model:korelacija:alpha 30         1      0.0      0.522  0.9855
## n:korelacija:alpha     24         6      0.3      3.728 1.76e-09 ***
## model:n:korelacija:alpha 120        5      0.0      0.538  1.0000
## Residuals          719640  51551      0.1
## ---
## Signif. codes:  0 '***' 0.001 '**' 0.01 '*' 0.05 '.' 0.1 ' ' 1
```

Sledi izpis ANOVE za širino intervalov zaupanja pri modelu brez transformacije.

```
##              Df Sum Sq Mean Sq  F value    Pr(>F)
## n              4 4732191 1183048 2.200e+05 < 2e-16 ***
## korelacija      3  744690  248230 4.616e+04 < 2e-16 ***
## model           5   19781    3956 7.356e+02 < 2e-16 ***
## alpha           2     532     266 4.950e+01 < 2e-16 ***
## n:korelacija    12  735406  61284 1.140e+04 < 2e-16 ***
## n:model         20  72611    3631 6.751e+02 < 2e-16 ***
## korelacija:model 15  16451    1097 2.039e+02 < 2e-16 ***
## n:alpha         8   2605     326 6.054e+01 < 2e-16 ***
## korelacija:alpha 6    229     38 7.110e+00 1.36e-07 ***
## model:alpha     10     88     9 1.632e+00 0.0907 .
## n:korelacija:model 60  28808    480 8.928e+01 < 2e-16 ***
## n:korelacija:alpha 24   1005     42 7.788e+00 < 2e-16 ***
## n:model:alpha   40     82     2 3.800e-01 0.9999
## korelacija:model:alpha 30    49     2 3.070e-01 0.9999
## n:korelacija:model:alpha 120   104     1 1.610e-01 1.0000
## Residuals      719640 3870180      5
## ---
## Signif. codes:  0 '***' 0.001 '**' 0.01 '*' 0.05 '.' 0.1 ' ' 1
```

Sledi izpis ANOVE za pokritost intervalov zaupanja pri modelu s transformacijo.

```
##              Df Sum Sq Mean Sq F value Pr(>F)
## model         1     16  15.553 285.710 <2e-16 ***
## n             1     11  10.510 193.077 <2e-16 ***
## korelacija     1      0   0.010   0.192 0.6612
## alpha          1      0   0.181   3.318 0.0685 .
## model:n        1      8   8.245 151.458 <2e-16 ***
## model:korelacija 1      0   0.000   0.001 0.9750
## n:korelacija    1      0   0.194   3.561 0.0591 .
## model:alpha     1      0   0.005   0.090 0.7642
## n:alpha         1      0   0.144   2.641 0.1041
## korelacija:alpha 1      0   0.150   2.749 0.0973 .
## model:n:korelacija 1      0   0.001   0.010 0.9207
## model:n:alpha    1      0   0.003   0.047 0.8276
## model:korelacija:alpha 1      0   0.012   0.212 0.6455
## n:korelacija:alpha 1      0   0.002   0.035 0.8522
## model:n:korelacija:alpha 1      0   0.000   0.004 0.9505
## Residuals     239984  13063   0.054
## ---
## Signif. codes:  0 '***' 0.001 '**' 0.01 '*' 0.05 '.' 0.1 ' ' 1
```

Sledi izpis ANOVE za širino intervalov zaupanja pri modelu s transformacijo.

```
##              Df Sum Sq Mean Sq  F value    Pr(>F)
## n              1  84670   84670 52328.667 < 2e-16 ***
## korelacija      1  31288   31288 19336.907 < 2e-16 ***
## model           1      1      1    0.614    0.433
## alpha           1  22186   22186 13711.933 < 2e-16 ***
## n:korelacija    1 11961   11961  7392.286 < 2e-16 ***
## n:model         1   248     248   153.150 < 2e-16 ***
## korelacija:model 1      1      1    0.333    0.564
## n:alpha         1  8286     8286  5120.740 < 2e-16 ***
## korelacija:alpha 1  2831     2831  1749.371 < 2e-16 ***
```

```

## model:alpha          1      1      1      0.530      0.467
## n:korelacija:model    1      36     36     22.435 2.17e-06 ***
## n:korelacija:alpha    1    1039    1039    642.159 < 2e-16 ***
## n:model:alpha         1      25     25     15.490 8.29e-05 ***
## korelacija:model:alpha 1       0       0       0.003      0.955
## n:korelacija:model:alpha 1       4       4       2.534      0.111
## Residuals            239984 388302      2
## ---
## Signif. codes:  0 '***' 0.001 '**' 0.01 '*' 0.05 '.' 0.1 ' ' 1

```